

# УФН 1993

*ТОМ СТО ШЕСТЬДЕСЯТ ТРЕТИЙ*

Журнал издается с апреля 1918 г.

Ноябрь 1993 г.

Том 163, № 11

## УСПЕХИ ФИЗИЧЕСКИХ НАУК

### **ГЕОМЕТРИЧЕСКАЯ ФАЗА БЕРРИ В КОЛЕБАТЕЛЬНЫХ ПРОЦЕССАХ**

*Д.Н. Клышко*

(Московский государственный университет им. М.В. Ломоносова)

(Статья поступила 4.08.93 г.)

#### **СОДЕРЖАНИЕ**

1. Введение (1).
  2. Элементарные модели (2).
  3. Фаза Панчаратнама (4).
  4. Сфера Пуанкаре как база расслоения (5).
  5. Расчет ГФ с помощью матриц Джонса (7). 5.1. Ротатор. 5.2. Линейная пластина.
  6. ГФ в случае двух скалярных волн (12).
  7. ГФ в многомодовых системах (13).
  8. Фазы Берри, Ааронова—Анандана и Панчаратнама (13).
  9. ГФ в квантовой оптике (15).
  10. Заключение (15).
- Приложение. Вывод "геометрической" формулы  $\beta = -\Omega/2$  (15).  
Список литературы (17).

Как часто бывает, абстрактный язык и непонятные выражения указывают на отсутствие полной ясности.

*У.Берке [1]*

**1. Введение.** Прошло около 10 лет с момента опубликования знаменитой статьи М. Берри "Квантовые фазовые множители, сопровождающие адиабатические изменения" [2], вызвавшей неиссякающий до сих пор поток публикаций. За эти годы понятие геометрической фазы (ГФ), или фазы Берри, существенно расширилось и проникло в самые различные разделы физики; см. обзоры [3, 4] и популярные статьи [5, 6]. С ГФ связаны эффекты Сантьяка, Ааронова—Бома, Яна—Теллера, Холла, некоторые особенности спектров молекул и ядер, вихри в сверхтекучем гелии, хиральные аномалии в

калибровочных теориях поля. Недавно обнаружено проявление ГФ в химических реакциях [7]. Известен аналог ГФ в механике — угол Ханни [8, 9].

Проявления ГФ в оптике были обнаружены задолго до публикации [2] Рытовым [10], Владимирским [11] и Панчаратнамом [12]; см. [6].

Был поставлен ряд специальных экспериментов, продемонстрировавших появление ГФ в оптике [13—19], в ЯМР [20], при интерференции нейтронов [21—22].

Таким образом, перед нами удивительный пример рождения нового универсального физического понятия. Саймон [23] сразу же указал на соответствующее математическое понятие в современной геометрии. Это *голономия*, поворот на некоторый угол касательного вектора при его параллельном переносе вдоль замкнутой кривой на изогнутой поверхности, например сфере. Эта поверхность вместе с множеством касающихся ее плоскостей является примером *расслоения* (fiber bundle); см. [24, 25]. Напомним, что эти математические объекты лежат в основе важнейших направлений современной физики, таких как калибровочные поля Янга—Миллса, электрослабое взаимодействие, квантование гравитационного поля. Своеобразное калибровочное "поле" и калибровочная инвариантность возникают и при формальном описании ГФ; см. приложение.

В исходной работе [2] был сделан ряд ограничений: система предполагалась квантовой, недиссилиптивной, с медленно зависящим от времени циклическим гамильтонианом,  $H(T) = H(0)$ , рассматривались лишь стационарные невырожденные состояния  $\psi_n$ . В дальнейшем все эти ограничения были сняты. Вильчек и Зи [26] рассмотрели случай вырожденных уровней, который описывается расслоением с неабелевой структурной группой и соответствующим неабелевым калибровочным полем — аналогом поля Янга—Миллса; см. [27].

Обобщение на неадиабатический случай и нестационарные состояния  $\psi(t)$  было сделано Аароновым и Ананданом [28]; при этом предполагалось, что гамильтониан и вектор состояния  $\psi(t)$  обладают свойством цикличности:  $\psi(T) = e^{i\gamma}\psi(0)$ , где полная фаза, приобретаемая вектором состояния за время цикла, равна сумме тривидальной динамической фазы и ГФ,  $\gamma = \alpha + \beta$ . Фактически циклические функции — это собственные функции оператора эволюции с собственным значением  $e^{i\gamma}$  [4, 29].

Джордан [30], исходя из квантового аналога фазы Панчаратнама [12], ввел определение ГФ для неполных циклов, изображаемых незамкнутыми траекториями в базовом (*проективном*) пространстве расслоения. ГФ в оптических системах с диссипацией энергии — поляроидах, описываемых неунитарными операторами эволюции, наблюдалась в [15, 19].

К сожалению, в программах по математике физических факультетов отсутствуют, как правило, такие разделы, как теория групп, топология, современная геометрия, которые все шире используются в физике. В связи с этим имеется, по-видимому, потребность в "промежуточном" уровне описания ГФ, доступном широкому кругу физиков и в то же время отражающем ее фундаментальные геометрические аспекты.

В настоящей работе делается попытка такого описания с помощью колебательных процессов, допускающих достаточно наглядные представления. По-видимому, язык оптической интерференции, непосредственно отражающий фазовые соотношения между "реальными" макроскопическими колебаниями, а не между таинственными квантовыми векторами состояния, лучше всего подходит для первого знакомства с ГФ, для уяснения существа вопроса. Можно надеяться, что прозрачные оптические модели помогут освоить некоторые термины современной геометрии и будут способствовать преодолению существующего терминологического барьера между физиками-теоретиками и экспериментаторами. В качестве

базовой модели, служащей надежным "плацдармом" для дальнейших обобщений, был выбран эффект Панчаратнама — появление ГФ при прохождении пучка поляризованного света через трансформаторы поляризации.

Термин ГФ будет использоваться как универсальный, объединяющий частные случаи: адиабатическую фазу Берри, геометрическую фазу Ааронова—Анандана, фазу Панчаратнама, угол Ханни и т.д.

Изложение начинается с качественного описания нескольких наглядных моделей, проявляющих ГФ (раздел 2). В разделе 3 на примере поляризационной оптики обсуждается важное новое понятие — относительная фаза двух пучков с различной поляризацией  $\mathbf{e}$ . В разделе 4 рассматривается простейшая, вероятно, физическая модель, описываемая расслоением Хопфа (см. [24], с. 273) и имеющая в качестве базового многообразия сферу Пуанкаре (СП), а в качестве структурной группы — унитарную группу  $U(1)$ , представляющую фазовыми множителями  $e^{i\gamma}$  при векторе поляризации  $\mathbf{e}$ . В разделе 5 проведен непосредственный расчет  $\mathbf{e}$  для конкретных трансформаторов поляризации, используемых в оптике — циркулярных и линейных фазовых пластин. В разделах 6 и 7 показывается, что использованный формализм описывает ГФ не только в случае волн с двумя типами поперечной поляризации, но и в случае любой системы из двух или большего числа колебаний. В разделе 8 обсуждаются некоторые методические и терминологические вопросы. Особенности ГФ при квантовом описании поля кратко рассматриваются в разделе 9. Вычисления, доказывающие геометрический смысл ГФ, вынесены в приложение.

**2. Элементарные модели.** Рассмотрим несколько примеров проявления ГФ. На рис. 1 изображен наблюдаемый поворот плоскости качания маятника Фуко вследствие суточного вращения Земли. При малых отклонениях гармонические колебания маятника имеют линейную поляризацию вдоль вектора  $\mathbf{e}$ , который медленно поворачивается относительно окружающих предметов. Если пренебречь орбитальным движением Земли, то за сутки экспериментальная установка возвращается, в исходное положение в пространстве и с наивной точки зрения вектор  $\mathbf{e}$  должен повернуться на  $2\pi$ . Но так происходит лишь на полюсах, а на произвольной широте  $\tilde{\vartheta} = \pi/2 - \vartheta$  ( $\vartheta$  — полярный угол) вектор  $\mathbf{e}$  поворачивается с угловой скоростью  $\omega' = \omega \cos \vartheta$ , меньшей по модулю скорости вращения Земли, и в

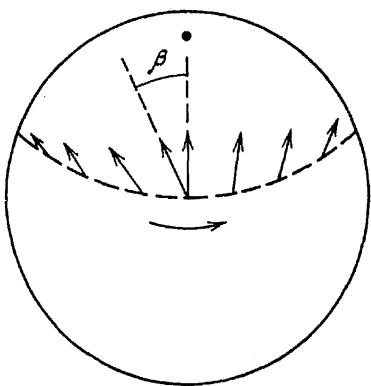


Рис. 1. Плоскость качаний маятника Фуко, изображенная стрелками, медленно поворачивается вследствие суточного вращения Земли. Через 24 часа плоскость качаний не доходит до исходного положения север — юг на некоторый угол  $\beta$ , зависящий от широты

результате наблюдатель обнаруживает "недостачу"

$$\beta \equiv 2\pi \left| 1 - \frac{\omega'}{\omega} \right| = 2\pi |1 - \cos \vartheta|. \quad (2.1)$$

Например, на экваторе  $\omega' = 0$  и  $\epsilon$  сохраняет свою ориентацию относительно локальной системы координат, т.е. маятник не реагирует на вращение Земли; при этом  $\beta$  достигает максимума  $2\pi$ . Обратим внимание, что  $\beta$  согласно (2.1) совпадает с величиной телесного угла  $\Omega$ , охватываемого при суточном перемещении маятника при наблюдении из центра Земли.

Это правило  $\beta = \Omega$  (мы не учтем здесь знаки  $\beta$  и  $\Omega$ ), связывающее радианы и стерадианы [6], остается справедливым и в гипотетическом случае, когда Земля неподвижна, а маятник будет медленно (по сравнению с периодом качания) и плавно перевозиться по поверхности Земли по замкнутой траектории. Отправимся, например, с Северного полюса по гривинческому меридиану ( $\varphi_0 = 0$ ) с  $\epsilon$ , параллельным этому же меридиану. Повернем на экваторе налево до меридиана  $\varphi$ , повернем опять налево и вернемся на полюс по меридиану  $\varphi$ . Все это время маятник продолжает, очевидно, качаться в плоскости север—юг, и по прибытии на полюс мы обнаружим, что вектор  $\epsilon$  повернулся относительно исходного положения на угол  $\beta = \varphi$ , совпадающий с охваченным телесным углом  $\Omega$ . Хотя при движении по геодезическим линиям ориентация  $\epsilon$  относительно локальных координат — широт и меридианов — сохраняется, тем не менее имеет место глобальный эффект,  $\beta \neq \varphi$ . Это пример *голономии*, порожденной *параллельным переносом* касательного вектора на сфере; см. [24], с. 277.

Очевидно, что можно добавить и вертикальные перемещения (адиабатические), при этом частота качаний будет изменяться, но формула  $\beta = \Omega$

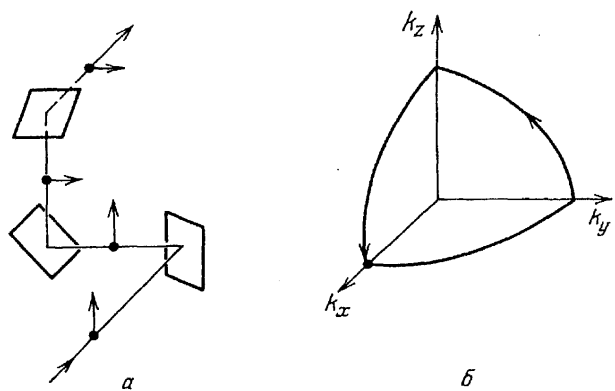


Рис. 2. *a* — Поворот плоскости поляризации пучка света при отражении от трех зеркал: на входе поляризация вертикальная, на выходе горизонтальная. *б* — Отображение изменений направления распространения пучка в пространство волновых векторов  $k_x, k_y, k_z$

останется в силе. Вообще,  $\beta$  не зависит от деталей эксперимента — скорости и длительности перемещения, а лишь от глобальной геометрической характеристики траектории  $\Omega$ . Конечно, можно честно решить уравнения динамики маятника с учетом сил Кориолиса [31], при этом решения "автоматически" обнаружат формулу  $\beta = \Omega$  для каждого частного маршрута.

В терминах современной геометрии  $\beta \neq 0$  вследствие того, что поверхность Земли — сфера  $S^2$  — имеет нетривиальную топологию (известный образ — "невозможность причесать ежа"). Значения угла ориентации  $\epsilon$  можно отобразить на круг  $S^1$  (как и унитарную группу  $U(1)$ , состоящую из чисел  $e^{i\beta}$ ). Поэтому состояние рассматриваемой системы изображается точкой в расслоении, которое локально является *прямым произведением*  $S^2 \times S^1$  (см. [24], с. 277), т.е. задается тремя числами  $(\vartheta, \varphi, \beta)$ .

Рассмотрим теперь распространение пучка света с линейной поляризацией через систему зеркал, изображенную на рис. 2. Пусть исходный пучок имеет вертикальную поляризацию. При каждом отражении направление  $\epsilon$  относительно волнового вектора  $\mathbf{k}$  сохраняется, но в результате трех последовательных отражений поляризация становится горизонтальной.

Этот эффект, как и поворот плоскости поляризации маятника Фуко, можно буквально объяснить "на пальцах". Вытянем левую руку горизонтально вперед с большим пальцем, направленным вверх. Рука указывает направление распространения света, а большой палец — направление поляризации. Чтобы представить действие 1-го зеркала на рис. 2, повернем вытянутую руку налево на  $90^\circ$ , сохранив палец вертикальным. Далее, поднимем руку вверх и опустим вперед в исходное положение. Мы обна-

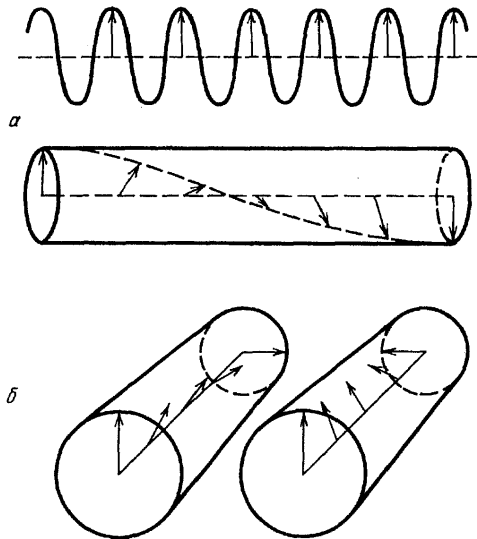


Рис. 3. Возникновение геометрической фазы  $\beta = 180^\circ$  при вращении вектора поляризации  $e$  (стрелки) вокруг направления распространения поперечной волны. Показаны "моментальные снимки" волн. а — Вращение  $e$  на  $180^\circ$ , при этом опорная волна (вверху) не преобразуется. б — Направление  $e$  в обоих плечах интерферометра поворачивается во встречных направлениях на  $\pm 90^\circ$

ружим, что теперь палец направлен направо, поляризация стала горизонтальной.

Будем изображать направление пучка света в данный момент точкой на единичной сфере в  $k$ -пространстве (рис. 2,б). Замкнутый контур, описывающий действие трех зеркал, охватывает один октант, которому соответствует телесный угол  $\Omega = \pi/2$ , совпадающий с углом поворота плоскости поляризации. Если представить вектор с линейной поляризацией  $e$  как суперпозицию двух векторов  $d^{(\pm)}$  с правой и левой круговой поляризацией, то поворот плоскости поляризации на угол  $\beta$  эквивалентен сдвигу фаз у векторов  $d^{(\pm)}$  на  $\pm\beta$ . Отметим, что теперь эволюция системы изображается не в реальном пространстве, а в пространстве параметров (подробнее о ГФ в системе зеркал см. [32—36]).

Аналогичный эффект имеет место и при использовании для изменения направления пучка вместо зеркал круглого изотропного световода [13, 37], а также при случайных блужданиях направления пучка в результате флюктуаций диэлектрических свойств среды [10, 11]. Отметим, что поворот плоскости поляризации в таких системах можно определить, лишь если исходное и конечное направления распространения одинаковы, т.е. если путь в  $k$ -пространстве замкнут.

Рассмотрим теперь простой пример, когда наблюдается изменение фазы линейно поляризован-

ной волны с фиксированным направлением распространения в результате поворота плоскости поляризации (это частный случай фазы Панчаратнама, которая подробней будет рассмотрена ниже). Речь может идти о плоской световой или звуковой волне с поперечными колебаниями или о волне, пущенной по натянутой веревке. Пусть плоскость колебаний медленно (в масштабе длины волны) поворачивается на  $180^\circ$  с помощью какого-либо устройства, не изменяющего длины волны. Из рис. 3,а ясно, что при этом произойдет сдвиг фазы на  $180^\circ$ : на расстояниях кратных длине волны  $n\lambda$ , поле принимает (в фиксированный момент времени) отрицательные значения вместо положительных. Это обстоятельство можно обнаружить по интерференции с опорной волной, прошедшей такое же расстояние, но без поворота поляризации. Это пример влияния геометрии на фазу. В качестве пространства, отображающего состояние поляризации, удобно выбрать сферу Пуанкаре (СП), при этом имеет место связь  $\beta = -\Omega/2$ , где теперь  $\Omega$  — телесный угол, охватываемый орбитой на СП.

Изображенный на рис. 3 скачок фазы на  $\pi$ , вызванный "переворотом" поперечной волны, вероятно, наиболее простое и наглядное проявление ГФ; он был отмечен в [38] и подробно рассматривался в [39]. На рис. 3,б изображен более симметричный вариант эффекта.

**3. Фаза Панчаратнама.** Обобщим модель рис. 3 на произвольно поляризованный падающей волну и произвольные трансформаторы поляризации  $D$ . Для определенности будем говорить о плоских световых волнах с частотой  $\omega$  и волновым вектором  $k$ . Будем считать поле  $E$  поперечным, при этом поляризация характеризуется двумерным комплексным вектором  $e$  с единичной нормой:  $e^* \cdot e = 1$ . Удобно включить в вектор  $e$  также и набег фазы, связанный с распространением пучка вдоль оси  $z$ :

$$E(z, t) = E_0 \operatorname{Re}(e(z)e^{-i\omega t}). \quad (3.1)$$

В дальнейшем полагаем  $E_0 = 1$ .

Выберем пару ортогональных нормированных базисных векторов  $d^{(1)}$  и  $d^{(2)}$ ,  $d^{(1)*} \cdot d^{(2)} = 0$ , тогда состояние поляризации задается двумя комплексными числами  $e = (e_1, e_2)$ , причем  $e_n = d_n^{(*)} \cdot e$  и  $|e_1|^2 + |e_2|^2 = 1$ . Таким образом, для полного определения  $e$  необходимо знать 3 вещественных числа и состояние поляризации можно отобразить точкой на сфере  $S^3$  в 4-мерном пространстве с координатами  $\operatorname{Re} e_1, \operatorname{Im} e_1, \operatorname{Re} e_2, \operatorname{Im} e_2$  (различные способы "визуализации" этой сферы описаны в

[40]). Если же не интересоваться фазовым множителем  $e^{i\epsilon}$ , общим для обеих компонент  $e_1$  и  $e_2$  (что обычно оптики и делают), то остается два числа, которые можно представить точкой на сфере Пуанкаре (СП).

В случае линейного базиса векторы  $\mathbf{d}^{(x)} = \mathbf{d}^{(z)}$  и  $\mathbf{d}^{(y)} = \mathbf{d}^{(y)}$  вещественны и направлены по осям  $x$  и  $y$ , составляющим правую тройку с осью  $z$ . Иногда удобно работать в циркулярном базисе с комплексными векторами  $\mathbf{d}^{(\pm)}$ , описывающими правую и левую круговую поляризацию. Связь между этими двумя основными базисами выберем в виде

$$\begin{aligned}\mathbf{d}^{(x)} &= \frac{1}{\sqrt{2}} (\mathbf{d}^{(+)} + i\mathbf{d}^{(-)}), \\ \mathbf{d}^{(y)} &= \frac{1}{i\sqrt{2}} (\mathbf{d}^{(+)} - \mathbf{d}^{(-)}), \\ \mathbf{d}^{(\pm)} &= \frac{1}{\sqrt{2}} (\mathbf{d}^{(x)} \pm i\mathbf{d}^{(y)}).\end{aligned}\quad (3.2)$$

Новые компоненты вектора поляризации  $\mathbf{e}$  при смене базиса определяются следующим образом:

$$\begin{aligned}\mathbf{e}_{\text{лин}} &= \mathbf{W} \cdot \mathbf{e}_{\text{цир}}, \\ \mathbf{e}_{\text{цир}} &= \mathbf{W}^{-1} \cdot \mathbf{e}_{\text{лин}}, \\ \mathbf{W} &= \frac{1}{\sqrt{2}} \begin{pmatrix} 1 & 1 \\ i & -i \end{pmatrix}, \\ \mathbf{W}^{-1} &= \frac{1}{\sqrt{2}} \begin{pmatrix} 1 & -i \\ 1 & i \end{pmatrix}.\end{aligned}\quad (3.3)$$

Здесь в соответствии с традицией ([41], с. 53) знаки выбраны так, что из  $\mathbf{e} = \mathbf{d}^{(+)}$  следует  $e_y/e_x = i$ , т.е. вещественные поля вдоль осей  $x$  и  $y$  равны соответственно  $\cos(kz - \omega t)$  и  $\cos(kz - \omega t + \pi/2) = -\sin(\omega t - kz)$ ; при этом для наблюдателя, смотрящего на источник света, вектор  $\mathbf{E}$  будет вращаться против часовой стрелки.

Рассмотрим идеализированный эксперимент по наблюдению поляризационной ГФ (фазы Панчаратнама), изображенный на рис. 4. В нем используется интерферометр Маха—Цендера с неполяризующими зеркалами и трансформатором поляризации  $\mathbf{D}$ , который может состоять из цепочки отдельных трансформаторов:  $\mathbf{D} = \mathbf{D}_n \dots \mathbf{D}_2 \mathbf{D}_1$ ; здесь  $\mathbf{D}$  — матрицы Джонса, описывающие преобразование вектора  $\mathbf{e}$  под действием трансформаторов.

Пусть  $\mathbf{e}$  — вектор поляризации на входе интерферометра, т.е. в опорном пучке и на входе трансформатора  $\mathbf{D}$ , и  $\mathbf{e}'$  — на выходе трансформатора (набеги фазы в свободном пространстве не учитываем). На выходном зеркале эти поля складываются векторно:  $\mathbf{e}'' = (\mathbf{e} + \mathbf{e}')/\sqrt{2}$ , так что интенсивность

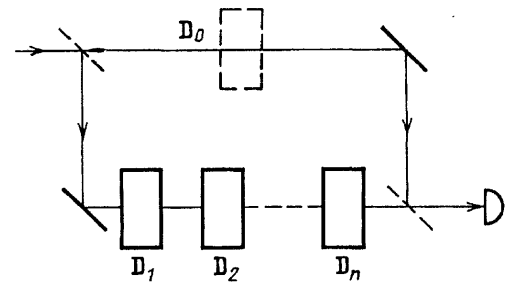


Рис. 4. Схема интерферометра для демонстрации геометрической фазы. Зеркала считаются неполяризующими.  $\mathbf{D}_1, \dots, \mathbf{D}_n$  — трансформаторы поляризации в основном плече,  $\mathbf{D}_0$  — в опорном

на детекторе пропорциональна величине

$$I = |\mathbf{e}''|^2 = \frac{1}{2} [1 + \operatorname{Re}(\mathbf{e}^* \cdot \mathbf{e}')] = \frac{1}{2} (1 + V \cos \gamma), \quad (3.4)$$

где введены обозначения

$$V \equiv |(\mathbf{e}^* \cdot \mathbf{e}')| = |e_1^* e'_1 + e_2^* e'_2|, \quad (3.5)$$

$$\gamma \equiv \arg(\mathbf{e}^* \cdot \mathbf{e}') = \arg(e_1^* e'_1 + e_2^* e'_2). \quad (3.6)$$

Фазу  $\gamma$  согласно Панчаратнаму [12] можно принять за *определение* относительной фазы двух пучков с разными в общем случае поляризациями  $\mathbf{e}$  и  $\mathbf{e}'$  (это определение теряет смысл лишь при ортогональных  $\mathbf{e}$  и  $\mathbf{e}'$ ). Действительно, если видность  $V$  постоянна, а  $\gamma$  меняется, то интенсивность будет осциллировать как  $\cos \gamma$ . Максимальная интенсивность соответствует  $\gamma = 0$ , при этом пучки "находятся в фазе", а при  $\gamma = \pi$  — "в противофазе". Ниже мы на конкретном примере убедимся, что  $\gamma$  действительно определяет фазу наблюдаемых биений (см. (5.16)).

Заметим, что  $\gamma_{ab} \equiv \arg(\mathbf{a}^* \cdot \mathbf{b}) = -\gamma_{ba}$ . Определение (3.6) можно использовать для определения текущей фазы  $\gamma(z)$  в любой точке тракта относительно начального поля:

$$\gamma(z) = \arg(\mathbf{e}^*(0) \cdot \mathbf{e}(z)). \quad (3.7)$$

Согласно (3.6) относительная фаза векторов  $\mathbf{e}$  и  $\mathbf{e}'$  равна фазе их скалярного произведения. Очевидно обобщение этого определения на  $N$ -компонентные векторы и на случай бесконечномерного гильбертова пространства:

$$\begin{aligned}\gamma &= \arg \sum_{n=1}^N e_n^* \cdot e'_n \longrightarrow \\ &\longrightarrow \arg \int dx \psi^*(x) \psi'(x).\end{aligned}\quad (3.8)$$

Здесь  $\psi$  может описывать колебания в  $N$  связанных классических осцилляторах (раздел 7) или состояние  $N$ -уровневой квантовой системы.

**4. Сфера Пуанкаре как база расслоения.** Представим вектор  $\mathbf{e}$  в некоторой фиксированной точке тракта в циркулярном базисе в следующем виде:  $\mathbf{e} = e^{i\epsilon} \mathbf{d}$ , где

$$\begin{aligned} d_+(\vartheta, \varphi) &= e^{-i\varphi/2} \cos \frac{\vartheta}{2}, \\ d_-(\vartheta, \varphi) &= e^{i\varphi/2} \sin \frac{\vartheta}{2}. \end{aligned} \quad (4.1)$$

Часто подобная параметризация используется в линейном базисе, однако представление (4.1) непосредственно связано с традиционным отображением типа поляризации на сферу Пуанкаре (СП). Для этого достаточно отождествить параметры  $\vartheta, \varphi$  в (4.1) с обычными сферическими координатами на сфере  $S^3$ .

При этом противоположным точкам на СП соответствуют ортогональные векторы:  $\mathbf{e}^*(\vartheta, \varphi) \times \mathbf{x} \mathbf{e}(\pi - \vartheta, \varphi + \pi) = 0$ . Существенно, что если бы в определение (4.1) не были введены коэффициенты  $1/2$  при параметрах  $\vartheta, \varphi$ , то противоположные точки на СП соответствовали бы векторам  $\mathbf{e}$  и  $\mathbf{e}' = -\mathbf{e}$ , отличающимся лишь знаками, т.е. фазой  $\pm\pi$ . При этом каждому "типу поляризации", который, по определению, не должен зависеть от общего фазового множителя  $e^{i\epsilon}$ , соответствовали бы две точки на СП, т.е. соответствие не было бы однозначным и СП не являлась бы проективным пространством (базой расслоения). Словам "свет имеет линейную поляризацию по оси  $x$ " должна соответствовать одна точка на СП с координатами  $\vartheta = \pi/2, \varphi = 0$  и два вектора поляризации  $\mathbf{e} = \mathbf{d}^{(x)}$  и  $\mathbf{e}' = -\mathbf{d}^{(x)}$  (см. рис. 3) (или в общем случае  $\mathbf{e}' = e^{i\epsilon} \mathbf{e}$ ).

Иначе говоря, проекция вектора  $\mathbf{e}$ , принадлежащего пространству  $S^3$ , на  $S^2$  основана на определении векторов  $\mathbf{e}$  и  $e^{i\epsilon} \mathbf{e}$  как эквивалентных (здесь  $\epsilon$  произвольное вещественное число). Это определение позволяет разбить все множество точек  $\mathbf{e} \in S^3$  на классы эквивалентности (лучи, типы поляризации). Каждому лучу соответствует своя точка на СП.

С помощью (3.3) и (4.1) можно выразить декартовы координаты точки на СП через линейные и циркулярные компоненты  $\mathbf{e}$ :

$$\begin{aligned} X &= \sin \vartheta \cdot \cos \varphi = |e_x|^2 - |e_y|^2 = 2\operatorname{Re}(e_+^* e_-), \\ Y &= \sin \vartheta \cdot \sin \varphi = 2\operatorname{Re}(e_x^* e_y) = 2\operatorname{Im}(e_+^* e_-), \\ Z &= \cos \vartheta = 2\operatorname{Im}(e_x^* e_y) = |e_+|^2 - |e_-|^2. \end{aligned} \quad (4.2)$$

Таким образом, круговой поляризации ( $e_{\pm} \sim 1$ ) соответствуют полюса  $\mathbf{R} \equiv (X, Y, Z) = (0, 0, \pm 1)$ ,

а линейной поляризации под углом  $\chi$  к оси  $x$  ( $e_x \sim \cos \chi, e_y \sim \sin \chi$ ) соответствует точка на экваторе с долготой  $\varphi = 2\chi$ .

Вращению плоскости поляризации, дающему голономию  $\mathbf{e} \rightarrow -\mathbf{e}$  и изображеному на рис. 3, соответствует путь вдоль экватора, начинающийся и заканчивающийся в одной точке  $(1, 0, 0)$ . В случае произвольной эллиптической поляризации исходного света гиротропная среда перемещает изображающую точку вдоль некоторой широты, определяемой начальной поляризацией (при этом  $Z = \text{const}$ ).

Поскольку в (4.2) входят только парные произведения компонент  $e_n^* e_m$ , то при "калибровочном" преобразовании  $\mathbf{e} \rightarrow e^{i\epsilon} \mathbf{e}$  изображающая точка остается на месте.

Если заданы параметры оптического тракта, то эволюция вектора  $\mathbf{e}(z)$  полностью определена и можно указать его орбиту на  $S^3$ . Ее проекция на базовое многообразие — СП — дает некоторую кривую  $C$ , которую можно представить в параметрической форме  $\vartheta = \vartheta(z), \varphi = \varphi(z)$ . В качестве третьей координаты, полностью определяющей  $\mathbf{e}(z)$ , можно выбрать фазу  $\epsilon(z)$  согласно определению (4.1).

Это определение позволяет построить траекторию системы в координатах  $(\vartheta, \varphi, \epsilon)$  — так называемое *сечение* расслоения. Правило, позволяющее рассчитать  $\epsilon$  при различных  $z$ , называется *связностью* (connection). В случае маятника Фуко связность задается физически — свойством сохранения плоскости качания в инерциальной системе, что приводит к закону параллельного переноса поляризации маятника при его перемещении. Правило ковариантного дифференцирования в криволинейных координатах также является примером связности (Леви-Чивита). Выбор определенной связности задает внутреннюю геометрию расслоения и голономию, т.е. закон преобразования векторов при обходе по замкнутой траектории  $C$  на базе расслоения.

С другой стороны, при заданных  $\mathbf{e}(0)$  и  $C$  можно с помощью (3.7) каждой точке  $z$  поставить в соответствие фазу Панчаратнама  $\gamma(z)$ , т.е. задать другое сечение  $(\vartheta, \varphi, \gamma)$ , соответствующее тому же пути  $C$ , но определяемое связностью Панчаратнама.

Рассмотрим некоторую замкнутую траекторию  $C$  на СП, при этом  $\mathbf{R}(L) = \mathbf{R}(0)$ . Соответствующая ей траектория в общем пространстве расслоения может быть разомкнутой:  $\mathbf{e}(L) = e^{i\gamma(L)} \mathbf{e}(0)$ . На рис. 5 условно изображены несколько траекторий, проектирующихся на один и тот же контур  $C$ , т.е. отличающихся друг от друга лишь калибровочны-

ми преобразованиями. Вертикальные прямые на рис. 5 изображают лучи.

Чтобы получить однозначный вектор  $\mathbf{g}(z)$  с замкнутой орбитой, можно исключить фазу  $\gamma$ :  $\mathbf{g}(z) = e^{-i\gamma(z)} \mathbf{e}(z)$ . Как уже упоминалось,  $\gamma(z)$  является суммой динамической части  $\alpha(z)$ , зависящей от конструкции тракта, его протяженности и т.д., и геометрической части  $\beta(z)$ , зависящей лишь от глобальных свойств контура  $C$ . Как показано в приложении, ГФ можно представить в следующем виде:

$$\beta(z) = i \int_0^z dz' \mathbf{g}^*(z') \cdot \dot{\mathbf{g}}(z') = -\frac{1}{2} \Omega; \quad (4.3)$$

здесь точка означает дифференцирование по  $z'$  и  $\Omega$  — телесный угол, охватываемый контуром  $C$ . Заметим, что из нормировки вектора  $\mathbf{g}$  следует  $\text{Re}(\mathbf{g}^* \cdot \dot{\mathbf{g}}) = 0$ , поэтому  $\mathbf{g}^* \cdot \dot{\mathbf{g}}$  — мнимое число.

Формулу (4.3) можно применять и в случае незамкнутых путей на СП, если их замыкать геодезической линией по кратчайшему пути. Такие линии, проходящие через начальную точку, не дают вклада в  $\beta$ .

Например, при движении по экватору от точки  $\varphi = 0$   $\beta$  остается равной нулю вплоть до точки  $\varphi = \pi$ , так как кратчайший обратный путь идет по экватору в обратном направлении, что дает  $\Omega = 0$ . В точке  $\varphi = \pi$   $\beta$  скачком возрастает на  $\pi$ , так как замыкание теперь идет в попутном направлении и охватывает половину СП. Физический смысл этого скачка поясняется на рис. 3.

Отметим, что коэффициент  $1/2$  в (4.3) появился из-за наличия таких же коэффициентов в (4.1) (см. формулу (П. 11) приложения), где они обеспечивают, как уже отмечалось, однозначное соответствие между лучами — множеством векторов  $\mathbf{e}$ , отличающихся только фазой, — и точками на СП. Иначе говоря, эти коэффициенты отражают *спинорный* характер поведения векторов  $\mathbf{e}$  под действием преобразователей поляризации: необходимо совершить два полных оборота на СП, чтобы вернуться к исходной поляризации.

С помощью еще одного калибровочного преобразования определим вектор  $\mathbf{f}(z)$  с исключенной динамической фазой (см. рис. 5):

$$\mathbf{f}(z) \equiv e^{-i\alpha(z)} \mathbf{e}(z) = e^{i\beta(z)} \mathbf{g}(z). \quad (4.4)$$

Легко убедиться, что для него выполняется так называемое правило параллельного переноса:  $\mathbf{f}^* \cdot \dot{\mathbf{f}} = 0$ , т.е. приращение  $d\mathbf{f}$  под действием гамильтониана ортогонально  $\mathbf{f}$ . Заметим, что для вещественных векторов это условие тривиально, оно

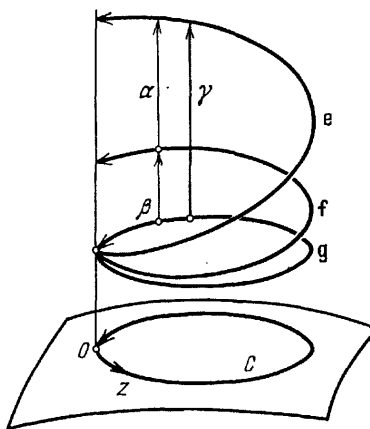


Рис. 5. Условное изображение расслоения. Внизу — базовое пространство (сфера Пуанкаре) с замкнутой кривой  $C$  и параметром кривой  $z$ . Векторы  $e$ ,  $f$ ,  $g$  отличаются калибровочными преобразованиями с фазами  $\alpha$ ,  $\beta$ ,  $\gamma$ . Вертикальная линия соответствует начальным и конечным значениям векторов поляризации

является следствием нормировки. В геометрических терминах  $\mathbf{f}(z)$  является *касательным вектором* к кривой  $f(z)$  в точке  $z$ . Вектор  $\mathbf{f}$ , как и другие векторы данного луча, считаются направленными "вертикально" (см. рис. 5), поэтому условие параллельного переноса означает, что вектор  $\mathbf{f}$  ортогонален к  $\mathbf{f}$  и, следовательно, лежит в "горизонтальной плоскости". В связи с этим орбиту вектора  $\mathbf{f}(z)$  называют *горизонтальным лифтом* замкнутой кривой  $C$  на базе, а его приращение при замыкании  $C$  — *голономией*; см. [24, 42].

Как показано в приложении, в случае замкнутых  $C$  замена в (4.3)  $\mathbf{g}$  на  $\tilde{\mathbf{g}} = \mathbf{g} \exp(i\varepsilon)$ , где  $\varepsilon(z)$  — произвольная функция, не влияет на  $\beta$ . Таким образом, все оптические системы, дающие одинаковые контуры  $C$  на СП, вносят одинаковые ГФ (хотя динамические фазы у них могут быть совершенно различными). Это пример *калибровочной инвариантности* ГФ, которая для произвольных квантовых систем обсуждалась в ряде работ; см. [42, 44].

## 5. Расчет ГФ с помощью матриц Джонса.

Рассмотрим, как изменяется вектор поляризации при распространении света в оптическом тракте (без учета отражений, дифракции, потерь и т.д.). Отдельные элементы тракта, как и весь тракт, осуществляют линейное преобразование вида

$$\mathbf{e} \rightarrow \mathbf{e}' = e^{i\sigma} \mathbf{D} \cdot \mathbf{e}, \quad (5.1)$$

где  $\sigma$  — некоторая общая фаза и  $\mathbf{D}$  — матрица  $2 \times 2$ , называемая *матрицей Джонса*. Из условия сохранения интенсивности

$$\mathbf{e}^* \cdot \mathbf{e}' = (\mathbf{D} \cdot \mathbf{e})^* \cdot (\mathbf{D} \cdot \mathbf{e}) = \mathbf{e}^* \cdot \mathbf{D}^+ \cdot \mathbf{D} \cdot \mathbf{e} = 1 \quad (5.2)$$

получаем  $\mathbf{D}^+ \cdot \mathbf{D} = \mathbf{I}$ , т.е.  $\mathbf{D}$  принадлежит группе

унитарных матриц  $\mathbf{U}(2)$  (здесь  $(D^+)_m \equiv D_{mm}^*$ ). При этом можно так подобрать фазу  $\sigma$ , что определитель  $\mathbf{D}$  станет равным 1, что является определяющим признаком *специальной* группы  $SU(2)$ . Матрицы этой группы в общем случае можно представить в виде

$$\mathbf{D} = \begin{pmatrix} a & b \\ -b^* & a^* \end{pmatrix}, \quad (5.3)$$

$$|a|^2 + |b|^2 = 1.$$

Таким образом, имеется три независимых вещественных параметра и любую матрицу можно отобразить точкой на сфере  $S^3$ .

В свободном пространстве происходит тривиальное преобразование  $\mathbf{e} \rightarrow \mathbf{e} e^{i\omega z/c}$ , которое учитывать не будем. При распространении в анизотропном веществе имеется некоторый базис  $\mathbf{d}^{(1)}, \mathbf{d}^{(2)}$ , в котором обе компоненты  $\mathbf{e}$  изменяются независимо друг от друга (возможную продольную компоненту  $e_z$  учитывать также не будем: более последовательно перейти к вектору индукции [43]).

В этом собственном представлении

$$\mathbf{e}_m(z) = e^{ik_m z} \mathbf{e}_m(0), m = 1, 2, \quad (5.4)$$

что дает

$$\begin{aligned} \mathbf{e}(z) &= e_1 \mathbf{f}^{(1)} e^{ik_1 z} + e_2 \mathbf{f}^{(2)} e^{ik_2 z} = \\ &= e^{i\sigma} (e_1 \mathbf{f}^{(1)} e^{i\delta} + e_2 \mathbf{f}^{(2)} e^{-i\delta}). \end{aligned}$$

В результате

$$\mathbf{D} = \begin{pmatrix} e^{i\delta} & 0 \\ 0 & e^{-i\delta} \end{pmatrix}; \quad (5.5)$$

здесь

$$\sigma \equiv (k_1 + k_2)/2, \delta \equiv (k_1 - k_2)/2.$$

Закон эволюции вектора  $\mathbf{e}$  можно представить в виде, аналогичном уравнению Шредингера:

$$i\dot{\mathbf{e}} = -\mathbf{H} \cdot \mathbf{e}, \quad (5.6)$$

которому соответствует оператор эволюции

$$\mathbf{e}(z) = \mathbf{U}(z) \cdot \mathbf{e}(0), \mathbf{U}(0) = \mathbf{I}. \quad (5.7)$$

Для однородного вещества  $\mathbf{H}$  не зависит от  $z$ . Согласно (5.4) в собственном представлении

$$\mathbf{H} = \begin{pmatrix} k_1 & 0 \\ 0 & k_2 \end{pmatrix}, \quad (5.8)$$

при этом  $\mathbf{U} = e^{i\sigma} \mathbf{D} = \exp(i\mathbf{Hz})$ .

Если же игнорировать фазу  $\sigma$ , то из (5.5) следует

$$\mathbf{H} = -i\dot{\mathbf{D}}(0) = \frac{1}{2} (k_1 - k_2) \begin{pmatrix} 1 & 0 \\ 0 & -1 \end{pmatrix}. \quad (5.9)$$

Теперь  $\mathbf{U} = \mathbf{D} = \exp(i\mathbf{Hz})$ .

Пусть собственные векторы  $\mathbf{H}$  имеют координаты  $(\vartheta, \varphi)$  и  $(\pi - \vartheta, \varphi + \pi)$  на СП; тогда, как легко

проверить, в циркулярном базисе

$$\begin{aligned} \mathbf{H}(\vartheta, \varphi) &= \frac{1}{2} (k_1 - k_2) \times \\ &\times \begin{pmatrix} \cos \vartheta & \sin \vartheta e^{-i\varphi} \\ \sin \vartheta e^{i\varphi} & -\cos \vartheta \end{pmatrix}. \end{aligned} \quad (5.10)$$

Смещение произвольной точки на СП под действием этого оператора легко представить, полагая, что СП вращается вокруг оси, проходящей через точки  $(\vartheta, \varphi)$  и  $(\pi - \vartheta, \varphi + \pi)$ .

**5.1. Р о т а т о р .** Например, для ротора — ячейки Фарадея или циркулярной фазовой пластины — собственные векторы соответствуют полюсам СП. С помощью (3.3) переходим к линейному базису

$$\begin{aligned} \mathbf{D}_{\text{лин}} &= \mathbf{W} \cdot \mathbf{D}_{\text{цир}} \cdot \mathbf{W}^{-1} = \\ &= \begin{pmatrix} \cos \delta & \sin \delta \\ -\sin \delta & \cos \delta \end{pmatrix}, \end{aligned} \quad (5.11)$$

где теперь  $\delta = \omega z (n_+ - n_-)/2c$  и  $n_\pm$  — показатели преломления для волн с круговой поляризацией. В явном виде преобразование запишется следующим образом:

$$\begin{aligned} e'_x &= e^{i\sigma} (\cos \delta e_x + \sin \delta e_y), \\ e'_y &= e^{i\sigma} (-\sin \delta e_x + \cos \delta e_y). \end{aligned} \quad (5.12)$$

Приращение долготы  $\varphi$  на СП равняется  $-2\delta$ .

Рассмотрим интерференционный эксперимент с ротором (см. рис. 4). Согласно (5.12)

$$\mathbf{e}^* \cdot \mathbf{e}' = e^{i\sigma} (\cos \delta + iZ \sin \delta), \quad (5.13)$$

где параметр  $Z = |e_+|^2 - |e_-|^2$  определяется исходной поляризацией.

При подстановке в (3.4) получаем

$$I = \frac{1}{2} (1 + V \cos \gamma), \quad (5.14)$$

где

$$V = (\cos^2 \delta + Z^2 \sin^2 \delta)^{1/2}, \quad (5.15)$$

$$\gamma = \sigma + \operatorname{arctg}(Z \operatorname{tg} \delta) \equiv \sigma + \gamma_0. \quad (5.16)$$

Обычно  $\sigma \gg |\delta|$ , поэтому (5.14) при изменении  $z$  описывает интерференционные биения интенсивности с периодом  $\tilde{\lambda} \equiv 4\pi/(k_+ + k_-)$ , при этом видность  $V$  и фаза интерференции  $\gamma_0$  медленно — с периодом  $4\pi/|k_+ - k_-|$  — зависят от  $z$ . Таким образом, фаза Панчаратнама является непосредственно наблюдаемой величиной и определение (3.6) имеет *операционный* смысл.

При  $Z = \pm 1$  (круговая поляризация) получаем тривиальную зависимость

$$I = \frac{1}{2} [1 + \cos(\sigma \pm \delta)] = \frac{1}{2} [1 + \cos(k_{\pm} z)], \quad (5.17)$$

а при  $Z = 0$  (линейная поляризация) из (5.15), (5.16) следует  $\gamma_0 = 0$  или  $\pi$  и  $V = |\cos \delta|$ , так что

$$\begin{aligned} I &= \frac{1}{2} (1 + \cos \delta \cdot \cos \sigma) = \\ &= \frac{1}{2} [1 + \frac{1}{2} \cos(k_+ z) + \frac{1}{2} \cos(k_- z)]. \end{aligned} \quad (5.18)$$

При прохождении точки  $\delta = \pi/2$  биения исчезают, но потом восстанавливаются с фазой, сдвинутой на  $\pi$ .

График функции  $\gamma(z)$  представлен на рис. 6 при  $Z = \pm 0,05$ . При этом скачки фазы, о которых говорилось выше, несколько заглаживаются, но нелинейная зависимость фазы от расстояния  $z$  четко проявляется (чтобы подчеркнуть эффект, параметр анизотропии  $\delta/\sigma = (n_+ - n_-)/(n_+ + n_-)$  принят равным малореалистичному значению 0,2).

Формула (5.16) определяет общую фазу. Как выделить ее геометрическую часть? Определим разность  $\gamma - \beta = \alpha$  как произведение длины пути  $z$  на "среднее" значение волнового вектора для данного типа поляризации:

$$\begin{aligned} \alpha &= \langle k \rangle z \equiv (k_+ |e_+|^2 + k_- |e_-|^2) z = \\ &= \sigma + Z\delta. \end{aligned} \quad (5.19)$$

Например, при  $Z = \pm 1$  имеем  $\langle k \rangle = k_{\pm}$ , а при  $Z = 0$   $\langle k \rangle = (k_+ + k_-)/2$ . Это определение, естественно, обобщается на случай пространственно-неоднородной среды, в которой собственные значения  $k_n$  зависят от  $z$ :

$$\alpha(z) = \int_0^z dz' \sum_{n=1}^2 k_n(z') |e_n|^2. \quad (5.20)$$

Это определение — аналог динамической фазы по Ааронову — Анандану [28] в квантовой системе (здесь точка — дифференцирование по времени):

$$\alpha(T) \equiv -\frac{1}{\hbar} \int_0^T dt \langle \psi | H | \psi \rangle = -\frac{i}{\hbar} \int_0^T dt \langle \psi | \dot{\psi} \rangle. \quad (5.21)$$

В наших обозначениях с помощью (5.6) получаем совпадающее с (5.20) выражение

$$\alpha(z) \equiv \int_0^z dz' (\mathbf{e}^* \cdot \mathbf{H} \cdot \mathbf{e}) = -i \int_0^z dz (\mathbf{e}^* \cdot \dot{\mathbf{e}}). \quad (5.22)$$

В рассматриваемом случае роторатора  $\alpha$  согласно (5.19) — просто линейная часть функции  $\gamma(z)$ :

$$\alpha(z) = z\dot{\gamma}(0) = \sigma + Z\delta. \quad (5.23)$$

Таким образом, получаем [38]

$$\beta(z) = \operatorname{arctg}(Z \operatorname{tg} \delta) - Z\delta. \quad (5.24)$$

График этой функции представлен на рис. 7. В

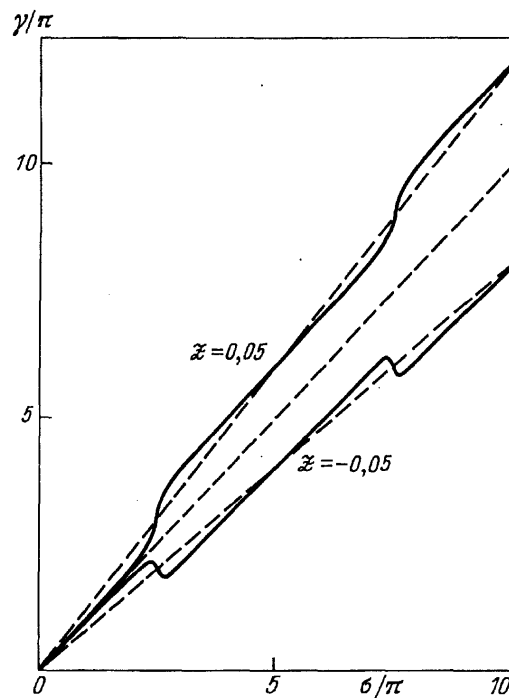


Рис. 6. Зависимость полной фазы  $\gamma$  (динамическая плюс геометрическая) от длины пути  $z$  в гиротропной среде согласно (5.16). По вертикали отложена фаза  $\gamma$ , деленная на  $\pi$ , по горизонтали  $\delta/\pi = (k_+ + k_-)z/2\pi$ , где  $k_{\pm}$  — постоянные распространения для волн с круговой поляризацией. Параметр анизотропии  $\delta/\sigma = (k_+ - k_-)/(k_+ + k_-)$  равен 0,2. Параметр  $Z$  связан с эллиптичностью волны ( $Z = 0$  — линейная поляризация,  $Z = \pm 1$  — круговая). Штриховые линии соответствуют фазам  $k_{\pm}z$  и  $(k_+ + k_-)z$

приложении с помощью формул сферической тригонометрии вычисляется телесный угол, соответствующий движению по широте с приращением долготы  $\varphi = -2\delta$ ; в соответствии с общей формулой (4.3) он равен удвоенному выражению (5.24).

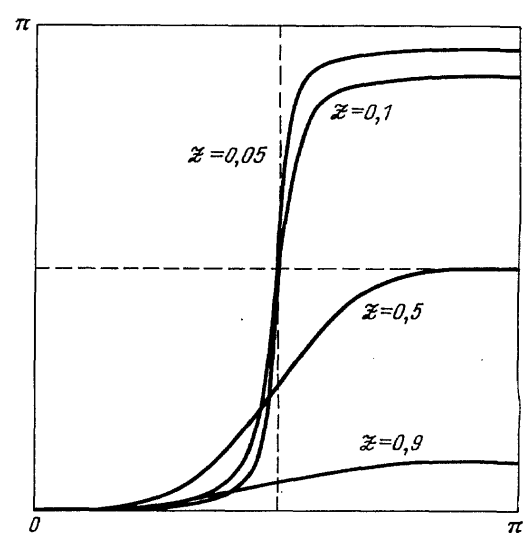


Рис. 7. Зависимость геометрической фазы, вносимой гиротропной средой, от нормированной длины пути  $\delta = (k_+ - k_-)z/2$  согласно (5.24) при различных значениях параметра эллиптичности  $Z$

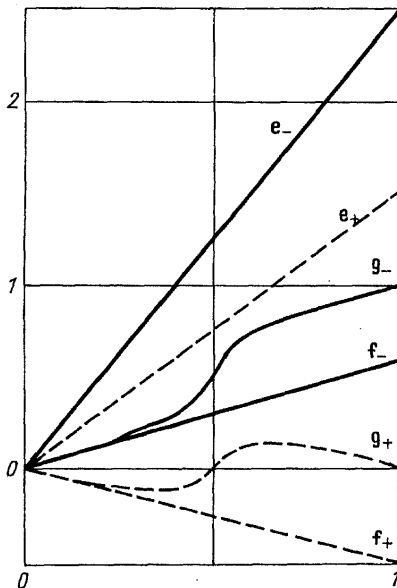


Рис. 8. Фазы векторов  $e$ ,  $f$ ,  $g$  в зависимости от долготы  $\varphi$  на СП в случае роторатора при  $Z = 0,05$  и параметре анизотропии 0,25. Сплошные и пунктирные линии соответствуют право- и левоциркулярным компонентам векторов. Фазы даны в единицах  $2\pi$

При полном обороте на СП  $\varphi = -2\delta = 2\pi$ , так что

$$\begin{aligned}\alpha/\pi &= (n_+ + n_-)/(n_- - n_+) + Z, \\ \beta/\pi &= 1 - Z, \\ \gamma/\pi &= 2n_\pm/(n_- - n_+).\end{aligned}\quad (5.25)$$

Найдем явный вид введенных выше векторов  $e$ ,  $f$ ,  $g$  при движении по постоянной широте, когда  $\vartheta = \text{const}$ ,  $\varphi = (k_- - k_+)z = -2\delta$ . Согласно (5.5)  $e_\pm(z) = (\sigma \pm \delta)e_\pm(0) = \exp(ik_\pm z)e(0)$ ,

так что

$$\begin{aligned}e &= e^{i\sigma} h, \quad f = e^{-i\alpha} e = e^{-i\beta} g, \\ g &= e^{-i\gamma} e = e^{i(\sigma-\gamma)} h,\end{aligned}\quad (5.26)$$

где

$$h_\pm \equiv e^{\pm i\delta} e_\pm(0),$$

$$\sigma = \varphi(n_+ + n_-)/(n_- - n_+)$$

и функции  $\alpha$ ,  $\beta$ ,  $\gamma$  определены в (5.23), (5.24), (5.16); в частности,

$$\sigma - \gamma = -\beta - Z\delta = -\arctg(Z \tg \delta).$$

Рис. 8 иллюстрирует три сечения расслоения, даваемые векторами  $e$ ,  $f$ ,  $g$ , т.е. оператором эволюции тракта, условием параллельного переноса  $\mathbf{f}^* \cdot \dot{\mathbf{f}} = 0$  и условием однозначности  $\mathbf{g} = e^{-i\gamma} \mathbf{e}$ .

Из (5.26), действительно, следует

$\mathbf{f}^* \cdot \dot{\mathbf{f}} = i\delta[(1 - Z)|e_+(0)|^2 - (1 + Z)|e_-(0)|^2] = 0$ . Вектор  $g$  согласно (5.26) определяет скорость изменения ГФ (ср. (П. 4)):

$$\mathbf{g}^* \cdot \dot{\mathbf{g}} = \mathbf{g}^* \cdot (i\beta g + e^{i\beta} \dot{\mathbf{f}}) = -i\dot{\beta}.$$

Явный вид  $\dot{\beta}$  следует из (5.24):

$$\dot{\beta} = \frac{1}{2}(k_+ - k_-)Z(1 - Z^2)/(Z^2 + \cot^2 \delta). \quad (5.27)$$

Отсюда при  $Z = 0$  (движение по экватору) имеем  $\dot{\beta} = 0$  (при  $\varphi \neq \pi$ ), что иллюстрирует общее правило: ГФ не изменяется при движении по геодезической кривой с длиной дуги, меньшей  $\pi$  и проходящей через начальную точку (необходимость последнего условия ясна из приведенного ниже рис. 9, где как раз путь по меридиану ВС и дает ГФ).

**5.2. Линейная пластина.** В реальных экспериментах [14 — 18] используют последовательно несколько линейных фазовых пластин  $\lambda/4$  и  $\lambda/2$ , что позволяет варьировать  $\beta$  без изменения  $\alpha$ . Пусть ось симметрии одноосного кристалла составляет угол  $\chi$  с осью  $x$ . При этом вектор  $\mathbf{d}^{(e)}$ , ориентированный вдоль оси симметрии, будет являться собственным для матрицы  $U(2)$  с собственным значением  $e^{ik_e z}$  (индекс  $e$  относится к необыкновенной волне). Второй собственный вектор  $\mathbf{d}^{(0)}$  имеет ориентацию  $\chi + \pi/2$  и собственное значение  $e^{ik_0 z}$ . Следовательно, в собственном представлении матрица преобразования кристалла (без множителя  $e^{i\sigma}$ ) имеет вид (5.5), где, теперь  $k_1 = k_e$ ,  $k_2 = k_0$ .

Угол поворота  $\chi$  в реальном пространстве соответствует долготе  $\varphi = 2\chi$  на СП, поэтому векторам  $\mathbf{d}^{(e)}$ ,  $\mathbf{d}^{(0)}$  соответствуют точки на экваторе с долготами  $2\chi$  и  $2\chi + \pi$ . Переходя к повернутому на  $-\chi$  базису, т.е. к обычному базису  $\mathbf{d}^{(x)}$ ,  $\mathbf{d}^{(y)}$ , находим следующие параметры матрицы  $D$  (см. (5.3)):

$$\begin{aligned}a &= \cos \delta + i \sin \delta \cdot \cos 2\chi, \\ b &= i \sin \delta \cdot \sin 2\chi.\end{aligned}\quad (5.28)$$

Отсюда для пластин с  $\delta = \pi/4$  и  $\delta = \pi/2$  получаем

$$\begin{aligned}a(\lambda/4) &= \frac{1}{\sqrt{2}}(1 + i \cos 2\chi), \\ b(\lambda/4) &= \frac{i}{\sqrt{2}} \sin 2\chi, \\ a(\lambda/2) &= i \cos 2\chi, \\ b(\lambda/2) &= i \sin 2\chi.\end{aligned}\quad (5.29)$$

Пусть поляризованный вдоль  $x$  пучок падает на пластину  $\lambda/4$  с ориентацией  $\chi = 45^\circ$ . При этом 0- и  $e$ -волны возбуждаются в кристалле с одинаковыми амплитудами. Согласно (5.29)

$$\mathbf{e}' = \frac{e^{i\sigma}}{\sqrt{2}} \begin{pmatrix} 1 & i \\ i & 1 \end{pmatrix} \begin{pmatrix} 1 \\ 0 \end{pmatrix} = \frac{e^{i\sigma}}{\sqrt{2}} \begin{pmatrix} 1 \\ i \end{pmatrix}. \quad (5.30)$$

Этому преобразованию соответствует путь на СП от экватора по меридиану  $\varphi = 0$  до Северного

полюса. При этом согласно (5.30) вектор приобрел только динамическую фазу

$$\gamma = \alpha = \sigma = \frac{1}{2} (k_e + k_0)z = \frac{n_e + n_0}{n_e - n_0} \frac{\pi}{4}.$$

Произведение  $\mathbf{e}^* \cdot \mathbf{e}'$  равно  $D_{11} = e^{i\sigma} / \sqrt{2}$

Пропустим пучок через вторую пластину  $\lambda/4$  с произвольной ориентацией  $\chi$ . С помощью (5.29) и (5.30) находим результат второго преобразования

$$\begin{aligned} \mathbf{e}'' &= \frac{e^{i2\sigma}}{2} \begin{pmatrix} 1 + i \cos 2\chi & i \sin \chi \\ i \sin \chi & 1 - i \cos 2\chi \end{pmatrix} \begin{pmatrix} 1 \\ i \end{pmatrix} = \\ &= e^{i(2\sigma + \beta)} \begin{pmatrix} \cos \beta \\ \sin \beta \end{pmatrix}. \end{aligned} \quad (5.31)$$

Теперь кроме динамической фазы  $2\sigma$  возникла ГФ  $\beta = \chi + 45^\circ$ , поле линейно поляризовано под углом  $\beta$  и изображающая точка вернулась на экватор в точку с долготой  $\varphi = 2\beta = 2\chi + \pi/2$  (в результате вращения на  $\pi/2$  вокруг оси с долготой  $2\chi = \varphi - \pi/2$ ). Замыкая траекторию по экватору (рис. 9), получаем телесный угол  $\Omega = -\varphi = -2\beta$ , что согласуется с правилом (4.3) (полагаем  $0 \leq \varphi \leq \pi$ ). (Отметим, что полученное значение ГФ в два раза меньше, чем у маятника Фуко при аналогичном путешествии по поверхности Земли; см. раздел 2.)

Сравним с помощью определения Панчаратнама (3.6) фазы поля в трех точках тракта (см. рис. 9): на входе (точка  $A$ , поляризация  $\mathbf{e}$ ), между пластинами ( $B$ ,  $\mathbf{e}'$ ) и на выходе ( $C$ ,  $\mathbf{e}''$ ). Пренебрегая фазой  $\sigma$ , из (5.30) и (5.31) находим

$$\begin{aligned} \beta_{AB} &= \arg(\mathbf{e}^* \cdot \mathbf{e}') = 0, \\ \beta_{BC} &= \arg(\mathbf{e}'^* \cdot \mathbf{e}'') = 0, \\ \beta_{AC} &= \arg(\mathbf{e}^* \cdot \mathbf{e}'') = \chi + \pi/4. \end{aligned} \quad (5.32)$$

Таким образом, хотя поля  $A$  и  $B$ ,  $B$  и  $C$  находятся в фазе, поле  $A$  не в фазе с полем  $C$ , т.е. *бинарное отношение "быть в фазе"* по Панчаратнаму для пучков с различными поляризациями не обладает свойством *транзитивности* и поэтому не позволяет разбить множество полей  $\mathbf{e}$  на *классы эквивалентности*.

Суммарное действие обеих пластин без учета фаз  $\sigma$  имеет вид  $\mathbf{e}'' = \mathbf{D}_2 \cdot \mathbf{D}_1 \cdot \mathbf{e}$ , где произведение матриц, входящих в (5.30) и (5.31), равно

$$\mathbf{D} = \mathbf{D}_2 \cdot \mathbf{D}_1 = e^{i\beta} \begin{pmatrix} \cos \beta & \sin \beta \\ -\sin \beta & \cos \beta \end{pmatrix}. \quad (5.33)$$

Сравнение с (5.11) показывает, что действие двух пластин  $\lambda/4$  не эквивалентно действию ротора, переводящего исходную точку  $A$  прямо в  $C$  по экватору без захода на полюс и не дающего ГФ (при  $\delta < \pi/2$ ).

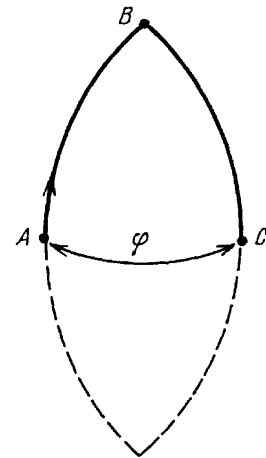


Рис. 9. Путь  $ABC$  на сфере Пуанкаре соответствует действию двух пластин  $\lambda/4$  и дает геометрическую фазу  $\beta = \varphi/2 = \chi + 45^\circ$ , линейно зависящую от угла поворота  $\chi$  второй пластины, причем динамическая фаза  $\alpha$  от  $\chi$  не зависит. Пунктир — возможный замыкающий путь для  $ABC$

Для эксперимента существенно, что динамическая фаза  $\alpha$  не зависит от ориентации  $\chi$  второй пластины. С практической точки зрения лучше использовать замкнутые траектории на СП, что можно осуществить с помощью трех пластин  $\lambda/4$ ,  $\lambda/2$ ,  $\lambda/4$ . При этом к траектории, изображенной на рис. 9 сплошной линией, добавляется симметричный путь в южном полушарии; см. пунктир на рис. 9 [14 — 18]. В результате при повороте средней пластины ( $\lambda/2$ ) наблюдаются биения интенсивности со 100 %-ной видностью. Равномерное вращение этой пластины со скоростью  $\dot{\chi}$  дает линейное приращение фазы пучка во времени, т.е. сдвиг его частоты  $\omega \rightarrow \omega + 2\dot{\chi}$  [17].

Операцию замыкания можно производить и в опорном канале (см. рис. 3,б и рис. 4). Пусть  $\mathbf{e}_0 = \mathbf{D}_0 \cdot \mathbf{e}$  — преобразованный опорный вектор поляризации, тогда наблюдаемая интерференция определяется произведением

$$\mathbf{e}_0^* \cdot \mathbf{e}' = \mathbf{e}^* \cdot \mathbf{D}_0^{-1} \cdot \mathbf{D} \cdot \mathbf{e}.$$

Следовательно, можно считать, что свет проходит по опорному каналу в обратном направлении. Условие замкнутости контура на СП имеет вид  $\mathbf{D}_0^{-1} \cdot \mathbf{D} = e^{i\gamma} \mathbf{I}$ , т.е.  $\mathbf{D}_0 = e^{-i\gamma} \mathbf{D}$ . Например, для эксперимента, изображенного на рис. 3,б,

$$\mathbf{D} = \begin{pmatrix} 0 & 1 \\ -1 & 0 \end{pmatrix}, \quad (5.34)$$

$$\mathbf{D}_0 = \begin{pmatrix} 0 & -1 \\ 1 & 0 \end{pmatrix},$$

так что  $\mathbf{D}_0^{-1} \cdot \mathbf{D} = \mathbf{D}^2 = -\mathbf{I}$ ,  $\gamma = \pm\pi$

Рассмотрим в заключение произвольное унитарное преобразование  $\mathbf{e}' = \mathbf{U} \cdot \mathbf{e}$ ,  $\mathbf{U} \cdot \mathbf{U}^+ = \mathbf{I}$ , тогда в собственном представлении оператора  $\mathbf{U}$  имеем

$e'_n = \exp(i\lambda_n) e_n$ , где  $\exp(i\lambda n)$  — собственные значения  $\mathbf{U}$ . Теперь

$$\begin{aligned} \mathbf{e}^* \cdot \mathbf{e}' &= \sum_{n=1}^2 |e_n|^2 \exp(i\lambda_n) = \\ &= e^{i\sigma}(\cos \delta + iZ \sin \delta), \end{aligned} \quad (5.35)$$

где

$$\begin{aligned} \sigma &= (\lambda_1 + \lambda_2)/2, \\ \delta &= (\lambda_1 - \lambda_2)/2, \\ Z &= |e_1|^2 - |e_2|^2. \end{aligned} \quad (5.36)$$

Полученное выражение совпадает с (5.13) при соответствующем переопределении параметров. Таким образом, формулы (5.14) — (5.16) сохраняют свой смысл; динамическая фаза должна в общем случае определяться по формуле (5.22).

При замкнутой орбите на СП  $\mathbf{e}'$  и  $\mathbf{e}$  отличаются только фазой  $\gamma$ , т.е.  $\mathbf{e}$  совпадает с одним из собственных векторов  $\mathbf{U}$  и  $\gamma$  — с  $\lambda_1$  или  $\lambda_2$ .

**6. ГФ в случае двух скалярных волн.** В рассмотренных выше примерах с маятником Фуко, поляризованным светом или звуком, натянутой веревкой фигурировали поляризованные поперечные колебания. Возникает вопрос, существенна ли поперечность волн для появления ГФ? Возможно ли ее наблюдение с помощью, например, продольных звуковых волн?

Легко убедиться, что важен не сам факт поперечности, а то, что поперечные колебания обладают двумя степенями свободы, это совокупность двух вырожденных осцилляторов. В свободном пространстве они независимы, но при распространении в анизотропном веществе они взаимодействуют (в общем случае). Взаимодействие мод в маятнике Фуко вызывается силами Кориолиса [31]. Использованный выше формализм с векторами и матрицами Джонса, сферой Пуанкаре применим к любым двухмодовым системам, включая частицу со спином 1/2 в магнитном поле.

Рассмотрим две скалярные волны, которые для наглядности будем считать двумя световыми пучками с одинаковыми фиксированными поляризациями.

Пусть  $e_1$  и  $e_2$  — комплексные амплитуды волн в пучках, имеющих единичную суммарную интенсивность:  $|e_1|^2 + |e_2|^2 = 1$ . Введем "вектор"  $\mathbf{e} = (e_1, e_2)$  — совокупность двух чисел, задающих состояние поля в некотором сечении оптического двухканального тракта  $z$ .

Будем перемешивать пучки с помощью идеального полупрозрачного зеркала с регулируемым

коэффициентом пропускания  $t$ ; коэффициент отражения  $r$  при этом равен  $(1-t^2)^{1/2}$ . Определим  $t$  и  $r$  через вспомогательный параметр  $\chi : t = \cos \chi$ ,  $r = \sin \chi$ , тогда действие зеркала описывается преобразованием  $\mathbf{e}' = \mathbf{D}_1 \cdot \mathbf{e}$ , где

$$\mathbf{D}_1 = \begin{pmatrix} \cos \chi & \sin \chi \\ -\sin \chi & \cos \chi \end{pmatrix}. \quad (6.1)$$

Направим пучки на второе зеркало, отличающееся лишь знаком коэффициента отражения и описываемого матрицей  $\mathbf{D}_1^{-1} = \mathbf{D}_1^+$ . Введем в один из пучков между зеркалами дополнительную разность хода  $2\delta$ , действие которой описывается диагональной матрицей

$$\mathbf{D}_2 = \begin{pmatrix} e^{i2\delta} & 0 \\ 0 & 1 \end{pmatrix} = e^{i\delta} \begin{pmatrix} e^{i\delta} & 0 \\ 0 & e^{-i\delta} \end{pmatrix}. \quad (6.2)$$

Множитель  $e^{i\delta}$  далее опускаем. Описанное устройство является интерферометром Маха—Цендера с общей матрицей  $\mathbf{D} = \mathbf{D}_1^{-1} \mathbf{D}_2 \mathbf{D}_1$ .

Перемножив эти матрицы, можно убедиться, что  $\mathbf{D}$  совпадает с матрицей линейной фазовой пластины (5.28). При этом задержка  $2\delta$  соответствует толщине фазовой пластины, умноженной на  $k_e - k_0$ , коэффициент пропускания зеркал  $t$  — косинусу угла между осью симметрии и осью  $x$ . Таким образом, действие интерферометра на два пучка с фиксированной поляризацией изоморфно действию фазовой пластины с параметрами  $(\delta, \chi)$  на один пучок поляризованного света.

Чтобы получить эквивалент пластины  $\lambda/4$  с ориентацией  $\chi$ , надо установить разность хода  $2\delta$ , равной  $\pi/2$ , и коэффициенты пропускания обоих зеркал  $t$  равными  $\cos \chi$ . Два таких интерферометра, расположенных последовательно, один с  $t = 1/\sqrt{2}$  и второй с регулируемым пропусканием  $t = \cos \chi$ , имитируют рассмотренную выше схему (см. рис. 9). При этом на входе  $e_1 = 1$  и  $e_2 = 0$ , т.е. возбуждается лишь один канал первого интерферометра. Выходные пучки имеют согласно (5.30) амплитуды

$$e''_1 = e^{i\beta} \cos \beta, \quad e''_2 = e^{i\beta} \sin \beta \quad (6.3)$$

с общей фазой, зависящей от пропускания зеркал второго интерферометра:  $\beta = 2\chi + \pi/2 = 2 \arccos t + \pi/2$ .

При смешении одного из выходных пучков с третьим, опорным, пучком будут наблюдаться биения интенсивности с фазой и видностью, определяемой (3.5), (3.6).

Как и в поляризационных экспериментах, лучше использовать комбинацию из трех интерферометров, эквивалентных пластинам  $\lambda/4$ ,  $\lambda/2$ ,  $\lambda/4$  и дающих замкнутую траекторию на СП (см. рис. 9).

При этом на выходе будет наблюдаться только один пучок с фазой, зависящей от пропускания среднего интерферометра, имитирующего пластины  $\lambda/2$ .

**7. ГФ в многомодовых системах.** Мы рассмотрели преобразование двух пучков в случаях, когда они отличаются или поляризацией, или направлениями распространения и пространственной локализацией. Ясно, что в последнем случае число пучков может быть больше двух. Можно реализовать оптическую систему, в которой  $N$  стационарных пучков с одинаковой фиксированной поляризацией перемешиваются с помощью системы полупрозрачных зеркал и задержек. В работе [45] предлагается использовать направленные ответвители. В [46] рассматривалось перемешивание с помощью зеркал (рис. 10).

Состояние  $N$ -модового поля в некотором сечении тракта задается точкой в  $N$ -мерном комплексном пространстве  $\mathbf{C}^N = \mathbf{R}^{2N}$ . Преобразование состояния описывается матрицами  $N \times N$ , поэтому такая система реализует общую линейную группу  $GL(2N, \mathbf{R})$ . При отсутствии потерь пространство состояний ограничено сферой  $S^{2N-1}$  в  $2N$ -мерном пространстве. Если игнорировать общий фазовый множитель  $e^{i\epsilon}$  всех  $N$  пучков, то получаем проективное пространство  $S^{2N-2}$ .

Как ясно из предыдущего, наблюдение фазы  $\gamma$  требует наличия опорного пучка с амплитудой  $e_0$ , т.е. увеличения размерности системы до  $N + 1$ . Такая интерференционная система позволяет наблюдать ГФ, связанную с группой  $SU(2N - 2)$  и определяемую через общую фазу согласно (3.8).

Методы нелинейной оптики позволяют реализовать и другие типы групп. Так, действие двухмодового параметрического усилителя с заданной накачкой описывается матрицами, принадлежащими лоренцевой группе  $SU(1,1)$ . Такой усилитель сохраняет разность интенсивностей в сигнальной и холостой модах:  $|e_1|^2 - |e_2|^2 = 1$ , и проективное пространство является гиперболоидом [47, 48]. ГФ, вносимая системой из четырех вырожденных (одномодовых) параметрических усилителей, дающих замкнутый контур в проективном пространстве, рассчитывалась в [47] групповым методом. Непосредственный расчет дает, конечно, такой же результат [49]. Обратим внимание, что здесь мы имеем пример ГФ при  $N = 1$  (не считая опорного канала), которая возникает в результате модуляции параметров линейного осциллятора внешней "накачкой"; общие решения такой задачи для квантового

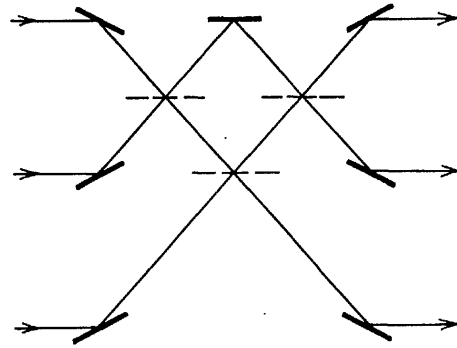


Рис. 10. Система зеркал, перемешивающая три пучка света с фиксированной поляризацией, реализует унитарную группу  $U(3)$

осциллятора рассматривались во многих работах; см. [58, 60, 61].

Схемы из нескольких параметрических усилителей и интерферометров дают новые возможности; например, можно реализовать группу  $SU(2,1)$  [50]. Такие схемы рассматриваются в последнее время в связи с парадоксом ЭПР—Белла; см. [51—53]. Отметим, что групповые методы все чаще применяются для описания, классификации и расчета различных моделей линейной, нелинейной и квантовой оптики.

**8. Фазы Берри, Ааронова—Анандана и Панчаратнама.** Сделаем несколько замечаний по поводу терминологии, которая, по-видимому, находится еще в стадии установления.

Часто используют название *топологическая* фаза вместо геометрической. Это оправдывается важной ролью топологии базового пространства расслоения, которая должна быть нетривиальной ([24], с.263). Инвариантность ГФ относительно произвольной деформации траектории  $C$  в базовом пространстве, сохраняющей охватываемую ею площадь  $\Omega$  (см. (4.3)), также можно считать топологическим свойством.

Применяется также название *неинтегрируемая* фаза, что, возможно, связано с тем, что правило параллельного переноса не эквивалентно наличию голономной связи в механических системах (которая позволяет уменьшить число степеней свободы системы). Отметим возникшее здесь противоречие между терминами *голономия* в геометрии и *неголономная система* в механике [6].

Возникновение ГФ при завершении цикла иногда характеризуют словами "глобальное изменение без локального изменения" [6]. Отметим, однако, возможность определения локальной, текущей, ГФ с помощью связности Панчаратнама; см. формулы (3.7) и (5.24).

Различают несколько модификаций ГФ: адиабатическая и неадиабатическая фазы Берри, фаза Ааронова—Анандана (АА), поляризационная фаза Панчаратнама, фаза Рытова—Владимирского, квантовая и неквантовая ГФ; при анализе классических динамических систем в переменных угол—действие возникает фаза Ханни.

Часто такие термины отражают лишь приоритетные аспекты, а не существенные отличия. Более последовательная классификация типов ГФ основана на стандартных обозначениях соответствующей группы преобразований типа  $SU(n)$  и т.д.

Сходство и различие некоторых из перечисленных выше типов ГФ легко уяснить с помощью поляризационной модели. Дело в том, что использованное выше описание преобразований поляризации с помощью векторов и матриц Джонса, сферы Пуанкаре изоморфно описанию эволюции любой двухуровневой квантовой системы, например частицы со спином  $1/2$  в магнитном поле  $\mathbf{B}$ . Движению на СП с постоянной широтой под действием ротатора (раздел 5) соответствует свободная прецессия магнитного момента частицы  $\vec{\mu}$  вокруг направления  $\mathbf{B}$  в реальном пространстве (или на сфере Блоха; см., например, [54], с.85). Расщеплению уровней под действием поля  $\mathbf{B}$  соответствует расщепление постоянной распространения  $\Delta k = k_1 - k_2$  под действием анизотропной среды.

Прохождению пучка света через несколько фазовых пластин соответствует пролет электрона или нейтрона через несколько областей однородного поля  $\mathbf{B}$ . Фактически этот случай описывается зависящим от времени гамильтонианом  $H(t)$ . Непрерывному изменению  $H(t)$  соответствует среда с зависящей от  $z$  анизотропией [43].

В работах [4, 29] было обращено внимание на то, что адиабатическую и неадиабатическую фазы Берри можно рассматривать как частные случаи фазы АА. Последняя предполагает цикличность изменения гамильтониана, а также рассмотрение лишь тех решений уравнения Шредингера, которые также обладают этим свойством:

$$H(T) = H(0), \psi(T) = e^{i\gamma} \psi(0). \quad (8.1)$$

Последнее условие означает, что  $\psi(T)$  и  $\psi(0)$  принадлежат одному лучу (вертикальные линии на рис. 5), так что контур  $C$ , описывающий траекторию системы в проективном пространстве, замкнут. Условие замкнутости можно также представить в виде

$$\psi(T) = U(T) \psi(0) = e^{i\gamma} \psi(0), \quad (8.2)$$

где  $U(t)$  — оператор эволюции, соответствующий данному гамильтониану  $H(t)$ . Таким образом, фаза АА — это фаза, приобретаемая собственными функциями оператора эволюции  $\psi(0)$ , при этом  $e^{i\gamma}$  — соответствующее собственное значение. В поляризационной оптике при замкнутых орбитах имеем аналогичную ситуацию:  $\mathbf{e}' = \mathbf{U} \cdot \mathbf{e} = e^{i\gamma} \mathbf{e}$ , т.е.  $\mathbf{e}$  является собственным вектором матрицы  $\mathbf{U}$ .

В частности, гамильтониан может быть постоянным, тогда в случае двухуровневой системы все векторы состояния являются циклическими при  $T = 2\pi n / \omega$ , однако нетривиальная фаза  $\beta$  возникает лишь у нестационарных векторов, т.е. параметр  $Z$  в (5.24) должен отличаться от  $\pm 1$ . Формула для  $\beta$  (5.25) для замкнутых циклов совпадает с соответствующей формулой в [28], полученной для спина, а формула для текущей фазы (5.24) обобщает ее на незамкнутые циклы.

Таким образом, поляризационная фаза Панчаратнама совпадает, по существу, с фазой АА для  $N = 2$ .

Берри [2] рассматривал собственные функции  $\psi_n(t)$  начального гамильтониана  $H(0)$ , которые удовлетворяют свойству цикличности (8.1) лишь при адиабатическом изменении  $H(t)$  (ибо в противном случае происходят "переходы" на другие уровни с  $m \neq n$ ).

Заметим, что при описании поляризационные эксперименты также неявно используется предположение об адиабатичности, поскольку пренебрегается отражениями от фазовых пластин, т.е. возбуждением дополнительных степеней свободы — встречных волн.

Между моделями Берри и АА имеется еще одно формальное различие: в первом случае для выяснения геометрического характера фазы состояния системы отображаются в пространство параметров гамильтониана, посредством которых осуществляется его изменение во времени (см. (П. 14)), а во втором — в проективное пространство относительно всего гильбертова пространства системы.

В поляризационной оптике для наблюдения адиабатической ГФ необходимо медленно (в масштабе  $\lambda$ ) изменять анизотропные параметры среды вдоль оси пучка  $z$  и возбуждать среду собственными волнами для начальных слоев вещества [43]. Например, обыкновенная волна в одноосном кристалле, который постепенно скручивается вокруг оси  $z$ , будет оставаться обыкновенной, т.е. будет "отслеживать" поворот оси симметрии кристалла, но при этом будет приобретать дополнительную фазу — адиабатическую фазу Берри. Очевидно, такой скру-

ченный кристалл действует как ротатор и мы пришли к уже рассмотренному на рис. 3 эксперименту. Если же падающая на кристалл волна имеет произвольную поляризацию, то картина усложняется, так как теперь имеются два характерных параметра — длина скручивания на  $2\pi$  и анизотропная длина  $2\pi / \Delta k$

Для случая спина 1/2 такие общие решения анализировались в работах [55–59], для осциллятора с переменными параметрами — в [58, 60, 61].

**9. ГФ в квантовой оптике.** Квантовые аспекты оптических проявлений ГФ рассматривались лишь в немногих работах; см., например, [38, 48, 62].

Некоторую дискуссию вызвал вопрос о том, является ли фаза Рытова—Владимирского, наблюдавшаяся в световодах [13], классическим или квантовым эффектом [17, 38, 63].

Ясно, что в общем случае квантовое описание оптических явлений более универсально, чем классическое или полуклассическое, поэтому представляется целесообразным исходить из следующего определения: существенно квантовыми эффектами являются лишь те эффекты, которые не имеют классических аналогов, обладающих теми же характерными признаками. С этой точки зрения кванто-оптические эффекты являются довольно редкими событиями, особенно если исключить из рассмотрения процесс детектирования, т.е. принять полуклассическую теорию (ср. дискуссию по поводу двухфотонной интерференции в [49, 50, 53, 64]).

Из приведенного выше рассмотрения следует, что характеристические признаки ГФ связаны лишь с математической структурой используемых моделей, которая одинакова, например, для спина 1/2 в магнитном поле и поляризованного света в анизотропном веществе. ГФ  $\beta = -\Omega/2$  у вектора состояния спина  $|\psi\rangle$  и вектора поляризации плоской волны  $e$  возникает через скалярные произведения  $\langle\psi|\psi'\rangle$  и  $e^* \cdot e'$  совершенно одинаковым образом, и поэтому вряд ли целесообразно в первом случае называть ГФ квантовой, в во втором — классической.

При квантовом описании поля вектор  $e(z)$  описывает эволюцию двух операторов поля плоской волны в представлении Гейзенберга. Существенно, что эта эволюция в случае линейных оптических устройств совершенно одинакова по форме в квантовой и классической феноменологических теориях; см., например, [64, 65]. В результате квантовое описание оптических экспериментов, демонстрирующих ГФ, не дает ничего нового по

сравнению с классическим, при этом наблюдаемая фаза не зависит от состояния  $|\psi\rangle$  [38].

Иногда считается, что в оптических интерференционных экспериментах проявляется классическая фаза Ханни, а не квантовая фаза Берри [48]. Такая точка зрения основана на определении оптической ГФ через произведение  $\langle\psi|\psi'\rangle$  вместо  $e^* \cdot e'$ . Однако такое формальное определение не имеет отношения к наблюдаемым эффектам в случае квантовой оптики [38]. В частности, фаза произведения  $\langle\psi|\psi'\rangle$  существенно зависит от свойств состояния  $|\psi\rangle$ , от средней интенсивности поля и лишь в некоторых простых случаях (однофотонное состояние) описывает наблюдаемую фазу [38, 48].

Отметим в заключение, что ГФ можно наблюдать также и при интерференции интенсивностей [14, 38]. В интерферометрах интенсивности обычно используется техника счета фотонов и наблюданную интерференцию интерпретируют как существенно неклассический эффект. Однако логичней, по-видимому, сам факт интерференции рассматривать как классический, а его единственную неклассическую характеристику — высокую видность интерференции — относить за счет неклассичности используемого на входе интерферометра неклассического (двуухфотонного) света [38, 49, 50].

**10. Заключение.** Итак, система из  $N$  взаимодействующих осцилляторов с комплексными амплитудами  $e_n$  характеризуется некоторой фазой  $\gamma = \alpha + \beta$ , которая после вычитания динамической части  $\alpha$ , определяемой динамикой системы, проявляет определенные геометрические свойства, связанные с контуром  $C$ , отображающим эволюцию системы в проективном пространстве (т.е. при игнорировании общей фазы амплитуд  $e_n$ ). Эволюция системы во времени или в пространстве описывается линейным преобразованием  $U : e \rightarrow e'$ , где  $e = \{e_n\}$ . Фазу  $\gamma$  можно наблюдать в интерференционном эксперименте, использующем дополнительный, опорный канал с амплитудой  $e_0 = e$ . При этом наблюдаются биения интенсивности с фазой  $\gamma$ . Последняя равна фазе суммы из  $N$  комплексных чисел:

$$\gamma = \arctg(\text{Im } u / \text{Re } u),$$

где

$$u \equiv \sum_{n=1}^N u_n \equiv \sum_{n=1}^N e_n^* e'_n.$$

Наиболее наглядный и простой пример физической модели, проявляющей геометрическую фазу, связан с линейнополяризованными волнами, бегу-

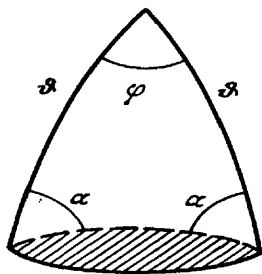


Рис. 11. К расчету телесного угла (заштрихованная область) на сфере Пуанкаре, соответствующего геометрической фазе, вносимой ротатором. Пунктир — геодезическая линия

щими, например, по натянутой веревке (см. рис. 3). Для поворота плоскости поляризации таких волн можно использовать воздушные потоки. В случае линейной поляризации  $\beta = \pm\pi$ . Обобщение на произвольную эллиптическую поляризацию приводит к "геометрической" формуле  $\beta = -\Omega/2$ , где  $\Omega$  — телесный угол, охватываемый на сфере Пуанкаре в процессе преобразования поляризации.

Автор благодарен И.А. Яковлеву за прочтение рукописи и ряд полезных замечаний.

**Приложение. Вывод "геометрической" формулы  $\beta = -\Omega/2$ .** Введем вектор  $\mathbf{g}(z)$  с исключенной общей фазой  $\gamma(z)$ :

$$\mathbf{e}(z) = e^{i\gamma(z)} \mathbf{g}(z), \quad (\text{П.1})$$

и найдем скорость изменения вектора поляризации

$$\frac{d\mathbf{e}}{dz} \equiv \dot{\mathbf{e}} = i\dot{\gamma}\mathbf{e} + e^{i\gamma} \dot{\mathbf{g}}. \quad (\text{П.2})$$

Умножая на  $\mathbf{e}^*$ , определяем скорость изменения фазы

$$\dot{\gamma} = i(\mathbf{g}^* \cdot \dot{\mathbf{g}}) - i(\mathbf{e}^* \cdot \dot{\mathbf{e}}). \quad (\text{П.3})$$

Согласно (5.22) второе слагаемое равно скорости изменения динамической части фазы, так что скорость изменения ГФ равна

$$\dot{\beta} = i(\mathbf{g}^* \cdot \dot{\mathbf{g}}) = -\text{Im}(\mathbf{g}^* \cdot \dot{\mathbf{g}}) \quad (\text{П.4})$$

(последнее равенство следует из  $|\mathbf{g}|^2 = 1$ ). Таким образом, ГФ в точке  $z$  имеет вид

$$\beta(z) = -\text{Im} \int_0^z d\zeta' (\mathbf{g}^* \cdot \dot{\mathbf{g}}). \quad (\text{П.5})$$

Пусть траектория на СП  $C$  задана параметрически:  $\vartheta = \vartheta(z)$ ,  $\varphi = \varphi(z)$ , тогда вдоль контура  $C$  имеем

$$\dot{\mathbf{g}} = \frac{\partial \mathbf{g}}{\partial \vartheta} \dot{\vartheta} + \frac{\partial \mathbf{g}}{\partial \varphi} \dot{\varphi}. \quad (\text{П.6})$$

Введем обозначения

$$A_\vartheta \equiv \text{Im} \left( \mathbf{g}^* \cdot \frac{\partial \mathbf{g}}{\partial \vartheta} \right),$$

$$A_\varphi \equiv \text{Im} \left( \mathbf{g}^* \cdot \frac{\partial \mathbf{g}}{\partial \varphi} \right), \quad (\text{П.7})$$

тогда (П.5) принимает вид криволинейного интеграла

$$\begin{aligned} \beta &= -\text{Im} \int_0^z d\zeta' \left[ \left( \mathbf{g}^* \cdot \frac{\partial \mathbf{g}}{\partial \vartheta} \right) \dot{\vartheta} + \left( \mathbf{g}^* \cdot \frac{\partial \mathbf{g}}{\partial \varphi} \right) \dot{\varphi} \right] = \\ &= - \int_C A_\vartheta d\vartheta + A_\varphi d\varphi. \end{aligned} \quad (\text{П.8})$$

В случае замкнутого контура — это циркуляция "вектора"  $\mathbf{A} = (A_\vartheta, A_\varphi)$ . С помощью формулы Стокса выражаем ГФ через поток "магнитного поля":

$$\beta = - \iint_{\Omega} B d\vartheta d\varphi, \quad (\text{П.9})$$

где

$$\begin{aligned} B &\equiv \frac{\partial A_\varphi}{\partial \vartheta} - \frac{\partial A_\vartheta}{\partial \varphi} = \frac{\partial \mathbf{g}^*}{\partial \vartheta} \cdot \frac{\partial \mathbf{g}}{\partial \varphi} - \\ &- \frac{\partial \mathbf{g}^*}{\partial \varphi} \cdot \frac{\partial \mathbf{g}}{\partial \vartheta} = 2\text{Im} \left( \frac{\partial \mathbf{g}^*}{\partial \vartheta} \cdot \frac{\partial \mathbf{g}}{\partial \varphi} \right) \end{aligned} \quad (\text{П.10})$$

и  $\Omega$  — телесный угол, охватываемый контуром  $C$ .

В современной геометрии подынтегральное выражение в (П.8) вместе с переменными интегрирования  $d\vartheta$ ,  $d\varphi$  называют дифференциальной формой 1-й степени или 1-формой [25]. Соответственно.  $B d\vartheta d\varphi$  — 2-форма. При этом используют обозначения  $\mathbf{g}^* \cdot d\mathbf{g}$  и  $d\mathbf{g}^* \wedge d\mathbf{g}$ .

Если полагать, что двухкомпонентная функция  $\mathbf{A}(\vartheta, \varphi)$  играет роль вектор-потенциала на поверхности СП, то величина  $B$  соответствует магнитному полю, направленному радиально. Такое поле создавал бы магнитный монополь Дирака, расположенный в центре СП. При этом прослеживается также аналогия с эффектом Ааронова — Бома, см. [43].

Заметим, что если умножить вектор  $\mathbf{g}$  на произвольный фазовый множитель,  $\mathbf{g} \rightarrow \tilde{\mathbf{g}} \equiv \mathbf{g} \exp(i\epsilon(z))$ , то согласно (П.7) функции  $A_\vartheta$  и  $A_\varphi$  получат приращения  $d\epsilon / d\vartheta$  и  $d\epsilon / d\varphi$  соответственно — аналогично вектор-потенциалу ЭМ поля при калибровочном преобразовании вектора состояния заряженной частицы. Это преобразование можно связать с законом сохранения электрического заряда, что с необходимостью приводит к существованию ЭМ поля с известными свойствами; см., например, [27].

Существенно, что  $B$  согласно (П.10) не изменяется при произвольном калибровочном преобразовании. Например, в (П.5) в случае замкнутого контура  $C$  можно вместо  $\mathbf{g}$  использовать  $\mathbf{e}$  или  $\mathbf{f} = e^{-i\alpha} \mathbf{e}$  (в то же время в локальной связи (П.4) должен фигурировать именно вектор  $\mathbf{g}$ ). Удобно взять  $\tilde{\mathbf{g}}$  в

виде (4.1), т.е.  $\tilde{\mathbf{g}} \equiv \mathbf{d}$ . Производные  $\tilde{\mathbf{g}}$  в циклическом базисе имеют вид

$$\begin{aligned}\frac{\partial \tilde{\mathbf{g}}}{\partial \vartheta} &= \frac{1}{2} \left( e^{-i\varphi/2} \sin \frac{\vartheta}{2}, e^{i\varphi/2} \cos \frac{\vartheta}{2} \right), \\ \frac{\partial \tilde{\mathbf{g}}}{\partial \varphi} &= \frac{i}{2} \left( -e^{-i\varphi/2} \cos \frac{\vartheta}{2}, -e^{i\varphi/2} \sin \frac{\vartheta}{2} \right),\end{aligned}\quad (\text{П.11})$$

что при подстановке в (П.7) и (П.10) дает

$$A_\vartheta = 0, A_\varphi = -\frac{1}{2} \cos \vartheta, B = \frac{1}{2} \sin \vartheta. \quad (\text{П.12})$$

Окончательно из (П.9) находим

$$\beta = -\frac{1}{2} \iint_{\Omega} \sin \vartheta d\vartheta d\varphi = -\frac{1}{2} \Omega. \quad (\text{П.13})$$

Чтобы перейти к случаю адиабатической фазы Берри (раздел 8), предположим, что начальное состояние  $\mathbf{e}(0) = \mathbf{g}(0) = \mathbf{g}_n(0)$  является собственным для  $H(0)$ . При достаточно медленном изменении  $H$  система остается в собственном состоянии мгновенного гамильтониана  $H(t)$ . Пусть  $H$  зависит от  $z$  (или от  $t$ ) посредством набора параметров  $\vec{\lambda} = \{\lambda_i(z)\}$ , тогда вектор  $\mathbf{g}_n$  также будет зависеть от  $z$  через эти параметры:

$$\dot{\mathbf{g}}_n = \sum_i \frac{\partial \mathbf{g}_n}{\partial \lambda_i} \dot{\lambda}_i. \quad (\text{П.14})$$

При этом формула (П.8) принимает вид

$$\beta_n = - \int_0^z \sum_i A_i^{(n)} d\lambda_i, \quad (\text{П.15})$$

где теперь

$$A_i^{(n)} \equiv \text{Im}(\mathbf{g}_n^* \cdot \partial \mathbf{g}_n / \partial \lambda_i). \quad (\text{П.16})$$

В случае двухуровневой системы в качестве параметров  $\lambda_i$  согласно (5.10) можно выбрать сферические координаты на СП  $\vartheta, \varphi$  (т.е. размерности проективного пространства и пространства параметров гамильтониана совпадают). В результате мы снова получаем формулы (П.8) — (П.13). В случае числа уровней, большем двух, такого совпадения нет; при этом для преобразования циркуляции (П.15) в интеграл по потоку надо использовать многомерную формулу Стокса [25].

Проведем в заключение непосредственный вывод связи (П.13) для частного случая ГФ, индуцированной ротатором; см. (5.24). Из рис. 11 ясно, что искомая площадь  $\Omega$  равна разности  $\Omega_1 - \Omega_2$ . Здесь  $\Omega_1$  — площадь, заключенная между двумя меридианами с разностью долгот  $\varphi$  и широтой  $\tilde{\vartheta} = 90^\circ - \vartheta$ , а  $\Omega_2$  — площадь сферического треугольника, ограниченного теми же долготами и геодезической. Угол  $\alpha$  находится по формулам сферической

тригонометрии (полагаем все углы меньшими  $\pi/2$ ):

$$\sin \vartheta \cdot \operatorname{ctg} \vartheta = \operatorname{ctg} \alpha \cdot \sin \varphi + \cos \vartheta \cdot \cos \varphi. \quad (\text{П.17})$$

Вводя обозначения  $\cos \vartheta = Z$ , находим  $\operatorname{ctg} \alpha = Z \operatorname{tg} 2\varphi$ . Заменяя  $\operatorname{ctg} \alpha$  на  $\operatorname{tg}(90^\circ - \alpha)$ , получаем

$$\alpha = 90^\circ - \arctg(Z \operatorname{tg} 2\varphi). \quad (\text{П.18})$$

Площадь сферического треугольника согласно теореме Гаусса — Бонне равна превышению суммы углов над  $\pi$ :

$$\Omega_2 = \varphi + 2\alpha - \pi = \varphi - 2 \arctg(Z \operatorname{tg} 2\varphi). \quad (\text{П.19})$$

Площадь  $\Omega_1$  легко находится интегрированием:  $\Omega_1 = \varphi(1 - Z)$ . Отсюда с учетом связи  $\varphi = -2\delta$  получаем

$$\Omega = -2 \arctg(Z \operatorname{tg} \delta) + 2Z\delta.$$

Сравнение с (5.24) снова дает формулу  $\beta = -\Omega/2$ .

Выше мы полагали  $\Omega_{1,2} > 0$ . При учете направления обхода знак  $\beta$  противоположен знакам  $\Omega$  и  $(Z\varphi)$  и совпадает со знаком  $(Z\delta)$ .

#### СПИСОК ЛИТЕРАТУРЫ

1. Берке У. Пространство-время, геометрия, космология. — М.: Мир, 1985. С. 141; Burke W. Spacetime, Geometry, Cosmology. Mill Valley, Calif. University Books, 1980.
2. Berry M.V. Proc. Roy. Soc. 1984, **A392**, 45.
3. Виницкий С.И., Дербов В.Л., Дубовик В.М., Марковский Б.Л., Степановский Ю.Л. УФН. 1990, **160**, 1.
4. Moore D.J. Phys. Rep. 1991, **210**, 1.
5. Berry M.V. Scient. Am. 1988, **259**, 26.
6. Berry M.V. Phys. Today. December 1990, 26.
7. Phys. Today. March 1993, 17.
8. Hannay J.H. J. Phys. 1985, **A18**, 221.
9. Berry M.V. J. Phys. 1985, **18**, 15.
10. Рытые С.М. ДАН СССР. 1938, **28**, 263.
11. Владимировский В.В. ДАН СССР. 1941, **31**, 222.
12. Pancharatnam S. Proc. Indian Acad. Sci. 1956, **A44**, 247; **A46**, 1.
13. Tomita A., Chiao R.Y. Phys. Rev. Lett. 1986, **57**, 937.
14. Kwiat P.O., Chiao R.Y. Phys. Rev. Lett. 1991, **66**, 588.
15. Bhandary R., Samuel J. Phys. Rev. Lett. 1988, **60**, 1211.
16. Bhandary R. Phys. Lett. 1988, **A133**, 1.
17. Simon R., Kimble H.J., Sudarshan E.C.G. Phys. Rev. Lett. 1988, **61**, 19.
18. Chyba T.H., Wang L.J., Mandel L., Simon R. Opt. Lett. 1988, **13**, 562.
19. Kitano M., Yabuzaki Y. Phys. Lett. 1989, **A142**, 321.
20. Suter D., Mueller K.T., Pines A. Phys. Rev. Lett. 1988, **60**, 1218. Лист В.Н., Федорук Г.Г., Хаймович Е.Л. Письма ЖЭТФ. 1989, **50**, 205.
21. Bitter T., Dubbers D. Phys. Rev. Lett. 1987, **59**, 251.
22. Richardson D.J., Kilvington A.I., Green K., Lamoreaux S.K. Phys. Rev. Lett. 1988, **61**, 2030.
23. Simon B. Phys. Rev. Lett. 1984, **51**, 2167.
24. Eguchi T., Gilkey P.B., Hanson A.J. Phys. Rep. 1980, **66**, 213.
25. Дубровин Б.А., Новиков С.П., Фоменко А.Т. Современная геометрия. М.: Наука, 1986.
26. Wikzek F., Zee A. Phys. Rev. Lett. 1984, **52**, 2111.
27. Mills R. Am. J. Phys. 1989, **57**, 493.
28. Aharonov Y., Anandan J. Phys. Rev. Lett. 1987, **58**, 1593.
29. Moore D.J., Stedman G.E. J. Phys. 1990, **A23**, 2049.
30. Jordan T.F. Phys. Rev. 1988, **A38**, 1590.
31. Khein A., Nelson D.F. Am. J. Phys. 1993, **61**, 170.
32. Kitano M., Yabuzaki Y., Ogawa T. Phys. Rev. Lett. 1987, **58**, 523.
33. Jordan T.F. Phys. Rev. Lett. 1988, **60**, 1584.
34. Jordan T.F. J. Math. Phys. 1988, **29**, 2042.

35. *Bhandary R.* Phys. Lett. 1989, **135**, 240.
36. *Chiao R.Y., Antaramian A., Ganga K.M., Jiao H., Wilkinson S.R., Nathel H.* Phys. Rev. Lett. 1988, **60**, 1214.
37. *Chiao R.Y., Wu Y.S.* Phys. Rev. Lett. 1986, **57**, 933.
38. *Klyshko D.N.* Phys. Lett. 1989, **A140**, 19.
39. *Bhandary R.* Phys. Lett. 1991, **A157**, 221.
40. *Urbantke H.* Am. J. Phys. 1991, **59**, 503.
41. *Борн М., Вольф Е.* Основы оптики. М., Наука, 1970.
42. *Bohm A., Boya L.J., Kendrick B.* Phys. Rev. 1991, **43A**, 1206.
43. *Berry M.V.* J. Mod. Opt. 1987, **34**, 1401.
44. *Liang J.Q., Ding X.X.* Phys. Lett. 1991, **A153**, 273.
45. *Linares J., Nistal Q.* Phys. Lett. 1992, **A162**, 7.
46. *Klyshko D.N.* Phys. Lett. 1988, **A132**, 299.
47. *Chiao R.Y., Jordan T.F.* Phys. Lett. 1988, **A132**, 77.
48. *Agarwal G.S., Simon R.* Phys. Rev. 1990, **A42**, 6924.
49. *Белинский А.В., Клышко Д.Н.* Лаз. физика. 1992, **2**, 112; Laser Phys. 1992, **2**, 112.
50. *Belinsky A. V., Klyshko D.N.* Phys. Lett. 1992, **A166**, 303.
51. *Greenberger D.M., Home M., Shimony A., Zeilinger A.* Am. J. Phys. 1990, **58**, 1131.
52. *Belinsky A.V., Klyshko D.N.* Phys. Lett. 1993, **A176**, 415.
53. *Белинский А.В., Клышко Д.Н.* УФН. 1993, **163**: 8, 1.
54. *Клышко Д.Н.* Физические основы квантовой электроники. М.. Наука, 1986.
55. *Ellinas D., Barnett S.M., Dupertuis M.A.* Phys. Rev. 1989, **A39**, 3228.
56. *Datta N., Grisho G.* Phys. Rev. 1989, **A40**, 526.
57. *Wang S.J.* Phys. Rev. 1990, **A40**, 5107.
58. *Base S.K., Dutta-Roy B.* Phys. Rev. 1991, **A43**, 3217.
59. *Barut A.O., Bozic M., Klarsfeld S., Marc Z.* Phys. Rev. 1993.
60. *Kobe D.H.* J. Phys. 1990, **A23**, 4249.
61. *Cervero J.M., Lejareta J.D.* Quant. Opt. 1990, **2**, 333.
62. *Breuer H.P., Dietz K., Holthaus M.* Phys. Rev. 1993, **A47**, 725.
63. *Haldane F.D.M.* Phys. Rev. Lett. 1987, **59**, 1788.
64. *Klyshko D.N.* Phys. Lett. 1992, **A163**, 349.
65. *Klyshko D.N.* Phys. Lett. 1989, **A137**, 334.